

ເຫັນການທີ່ຍິນເປົ້າບໍລິຫານ

ມາດຕະຖິ່ນໂຄສະ ໂຄຮງກາງວິຊາ

ຄຸນສົມບັດຕ້ານອອກຫີເຕັ້ນ ແລະ ຕ້ານໂຣຄະເຮັງຂອງ Terpene : ໂດຍ
ທີ່ປັບປຸງກີໂຍກັບ ສັນດອກຫີລແຮດດີຄົລ ທູບປະປອ້ອກໄຊດີແຮດດີຄົລ ແລະ
ສັນດອເຈນປະປອ້ອກໄຊດີ

ຜູ້ອໍານວຍ

ຝ.ສ. ຈັນທຽມຮອນ ແສງແຂງ

ດຣ. ສຳເລີ. ມັນເຂດຕົກຄົນ

Lab. Physical Chemistry, Molecular and Cellular Biology,

Faculty of Science, Burapha University

- ๘ ຊ.ນ. 2545 PG ๐๐๐๙๙๔ /

156152

ໄດ້ຮັບງານປະມານສັບສົນຈາກປະປະມານແພັນດີນປະເກາທເນີນ

ອຸດໜູນງານວິຈີ່ຢືນປະມານ 2543 ມາວິທາລິ້ຍບູຮພາ

บทคัดย่อ

การศึกษาคุณสมบัติ antioxidant และ anticancer ของโมเลกุลไนโกลูม polyphenols 2 ชนิด คือ terpene และ apigenin ซึ่งเป็นโมเลกุลที่พบในพืช ผัก ผลไม้ ที่ใช้บริโภคเป็นอาหารประจำวัน พบ ว่า โมเลกุล apigenin มีศักยภาพสูงกว่า โมเลกุล terpene อย่างมีนัยสำคัญ โดยประสิทธิภาพในการยับยั้งการแบ่งตัวของเซลล์มะเร็ง มีค่า IC_{50} ของโมเลกุล apigenin น้อยกว่าค่า IC_{50} ของโมเลกุล terpene ถึง 3 เท่า ในเซลล์มะเร็ง K562/S, K562/ADR และ 2 เท่าในเซลล์มะเร็ง GLC4/S, GLC4/ADR ตามลำดับ โมเลกุล apigenin มีประสิทธิภาพดีมากในการออกฤทธิ์เป็น chemosensitisers ร่วมกับยา抗มะเร็ง DNR โดยมีร้อยละของค่า IC_{50} ของ DNR ลดลงเท่ากับ 53.0, 61.3, 90.7, 82.1 ในเซลล์มะเร็ง K562/S, K562/ADR, GLC4/S, GLC4/ADR ตามลำดับ แต่ไม่มีฤทธิ์ตังกล่าวในโมเลกุล terpene โมเลกุลทั้งสองมีประสิทธิภาพต่ำในการยับยั้งการทำงานของ P-gp และ MRP และไม่มีผลต่อความต่างศักย์เมมเบรนของไมโตคอนเดรีย ($\Delta\psi_m$) ในเซลล์มะเร็ง K562/S, K562/ADR, GLC4/S, GLC4/ADR ตามลำดับ เนื่องจาก ROS มีผลโดยตรงต่อ ($\Delta\psi_m$) และระดับพลังงานในเซลล์ ในการศึกษานี้ได้เน้นย้ำให้เซลล์อยู่ในภาวะ oxidative stress จากภายนอก โดยการบ่มเซลล์ด้วย H_2O_2 และจากภายในโดยบ่มเซลล์ด้วย BSO และ H_2O_2 ทำให้มี $\Delta\psi_m$ ลดลง สัมพันธ์กับการตายของเซลล์ โมเลกุล apigenin ออกฤทธิ์กำจัด ROS ที่มากเกินพอไม่ได้คอนเดรีย และป้องกันการตายของเซลล์ โดยเพิ่ม $\Delta\psi_m$ 1.32, 4.77 เท่าในเซลล์มะเร็ง GLC4/S, GLC4/ADR ตามลำดับ สรุปได้ว่า โมเลกุล apigenin มีประสิทธิภาพสูงกว่าโมเลกุล terpene ในการออกฤทธิ์เสริม กับยา抗มะเร็ง DNR ขณะเดียวกันก็มีคุณสมบัติ antioxidant ที่ไม่ได้คอนเดรีย

สารบัญ

บทคัดย่อ.....	1
บทที่ 1 บทนำ.....	2
1 การเกิดอนุมูลอิสระ (free radical) และโรคมะเร็ง	2
2 การรักษาโรคมะเร็งและปัญหาการดื้อยาในเซลล์มะเร็ง	2
3 คุณสมบัติ antioxidants ต่อการต้านโรคมะเร็ง.....	4
4 วัตถุประสงค์.....	5
บทที่ 2 วิธีการทดลองและวัสดุที่ใช้ในการทดลอง	7
1 Cell culture	7
2 การทดสอบความเป็นพิษ (cytotoxicity) ของโมเลกุล terpene, apigenin และ danorubicin (DNR) ต่อบรรเพลส์ K562 และ GLC4.....	7
3 การทดสอบความเป็นพิษโดยใช้โมเลกุล terpene หรือ apigenin ร่วมกับยา.rักษามะเร็ง DNR 8	8
4 การเตรียมสารละลาย.....	9
5 การทดสอบจลศากศาสตร์ประสิทธิภาพของโมเลกุล terpene หรือ apigenin ในการเพิ่มความเข้มข้น DNR สะสภายในเซลล์	9
6 ประสิทธิภาพของโมเลกุล apigenin ต่อความต่างศักย์เมมเบวนของไมโตคอนเดรีย และการกำจัด ROS ที่ไมโตคอนเดรีย	13
บทที่ 3 ผลการทดลองและอภิปรายผลการทดลอง	16
1 ผลการทดลอง	16
2 สรุปผลการทดลอง	26
เอกสารอ้างอิง.....	28

สารบัญรูป

รูปที่ 1 แบบจำลองของเซลล์มะเร็งที่ไวต่อยา ดื้อต่อยา และการขับยั้งการปั๊มยาออกนอกเซลล์ โดยโน阴谋ล ที่เป็น INHIBITOR.....	4
รูปที่ 2 โครงสร้างทางเคมีของโน阴谋ล APIGENIN (ก) และ TERPENE (ข)	5
รูปที่ 3 จลสารต่อการเข้าสู่เซลล์ที่ไวต่อยาและดื้อต่อยาของ DNR	12
รูปที่ 4 ภาพแสดงการทำงานของ P-GP ในเซลล์ที่ไวต่อโน阴谋ลที่เป็น INHIBITOR (ก) และในเซลล์ดื้อ ยาที่ไม่เป็น INHIBITOR (ข)	13
รูปที่ 5 การวัดความต่างศักย์ของโน阴谋ลโดย RHODAMINE B และ MTT-REDUCTION (ก) กราฟ มาตรฐาน (CALIBRATION CURVE) ระหว่างความต่างศักย์เมมเบรนของโน阴谋ลกับ อัตรา เริ่วของกระแส RHODAMINE B ในโน阴谋ล (ข)	15
รูปที่ 6 เปรียบเทียบเปอร์เซ็นต์การลดลงของค่า IC ₅₀ ของ DNR ระหว่าง โน阴谋ล TERPENE และ APIGENIN ในการขับยั้งการแบ่งตัวของเซลล์มะเร็งร่วมกับ DNR.....	19
รูปที่ 7 ประสิทธิภาพของโน阴谋ล APIGENIN ต่อการลดลงของการซึมผ่านของสัญญาณ RHODAMINE B ในเซลล์มะเร็ง K562 และ GLC4 ที่ดื้อต่อยา และที่ไวต่อยาตามลำดับ.....	22
รูปที่ 8 การซึมผ่านของสัญญาณ RHODAMINE B ในเซลล์ที่ปั๊มด้วย H ₂ O ₂ 100 μM เป็นเวลา 2 ชั่วโมง สเปกตรัมแสดงข้อมูลเชิงคุณภาพของสัญญาณ RHODAMINE B (ก) ประสิทธิภาพของโน阴谋ล APIGENIN ต่อการกำจัด ROS ที่โน阴谋ล (ข).....	24
รูปที่ 9 การซึมผ่านของสัญญาณ RHODAMINE B ในเซลล์ที่ปั๊มด้วย BSO 50 μM เป็นเวลา 20 – 24 ชั่ว โมง และปั๊มต่อด้วย H ₂ O ₂ 100 μM เป็นเวลา 2 ชั่วโมง สเปกตรัมแสดงข้อมูลเชิงคุณภาพของ สัญญาณ RHODAMINE B (ก) ประสิทธิภาพของโน阴谋ล APIGENIN ต่อการกำจัด ROS ที่โน阴谋ล โดยเดรีย (ข).....	25
รูปที่ 10 สเปกตรัมแสดงประสิทธิภาพของโน阴谋ล APIGENIN ต่อการเปลี่ยนแปลงการซึมผ่านของ สัญญาณ RHODAMINE B ในเซลล์มะเร็ง GLC4/ADR โดยปั๊มด้วย BSO 50 μM เป็นเวลา 20–24 ชั่วโมง และปั๊มต่อด้วย H ₂ O ₂ 100 μM เป็นเวลา 2 ชั่วโมง.....	26

สารบัญคำย่อ

DNA	Deoxyribonucleic acid
RNA	Ribonucleic acid
ROS	Reactive oxygen species
O ₂ ⁻	Superoxide anion
OH [.]	Hydroxyl radical
H ₂ O ₂	Hydrogenperoxide
MDR	Multidrug resistance
P-gp	P-glycoprotein
MRP1	Multidrug resistance associated protein
ATP	Adenosine-triphosphate
ΔΨ _m	mitochondrial membrane potential
EGFR	Epidermal growth factor receptor
MAPKs	Mitogen-activated protein kinase
DNR	Daunorubicin
MTT	3-[4,5-Dimethylthiazol-2-yl]-2,5-diphenyl-tetrazolium bromide
BSO	DL-Buthionine-[S,R]-Sulfoximine

บทที่ 1 บทนำ

มะเร็งเป็นโรคที่รับร้อน เป็นผลลัพธ์เนื่องมาจากการพันธุ์ และการเปลี่ยนแปลงหน้าที่กลไกการทำงานของเซลล์รวมถึง การถูกของ DNA (DNA replication) การซ่อมแซม DNA (DNA repair) การถอดรหัส (transcription) การดำเนินการปรับเปลี่ยนโครงสร้างของ RNA (RNA processing) ชีพของเซลล์ (cell cycle process) ไปร่วมกับการตายของเซลล์ (programmed cell death) ทำให้สูญเสียความสามารถในการควบคุมการแบ่งตัวของเซลล์ สาเหตุที่สำคัญคือการเกิดอนุมูลอิสระ (free radical) [1-2]

1 การเกิดอนุมูลอิสระ (free radical) และโรคมะเร็ง

อนุมูลอิสระมีบทบาทสำคัญในระบบการทำงานต่างๆของร่างกาย ในภาวะปกติของสิ่งมีชีวิต ออกซิเจนสามารถเปลี่ยนแปลงเป็นสารประกอบที่เรียกว่า reactive oxygen species (ROS) ซึ่งมีหลายชนิดได้แก่ ซุปเปอร์ออกไซด์แอนิโอน (superoxide anion) (O_2^-) อี้ดรออกซิลแลคเดซิล (hydroxyl radical) (OH^-) และกลุ่มอนุพันธ์ที่ไม่ใช่อนุมูลอิสระได้แก่ อี้ดรอเจนเปอร์ออกไซด์ (hydrogen peroxide) หรือ (H_2O_2) เป็นต้น ไม่ต้องเดียงเป็นแหล่งกำเนิด ROS ที่สำคัญมาก จากกระบวนการถ่ายทอดอิเลคตรอนในไมโตคอนเดรีย ประมาณ 2% ของออกซิเจนที่ใช้ในไมโตคอนเดรีย ถูกรีดิวฟลายเป็น O_2^- และเกิดปฏิกิริยา dismutation โดยเอนไซม์ manganese-superoxide dismutase กลายเป็น H_2O_2 [3-5] ROS ที่มีความไวสูงจะถูกผลิตขึ้นเป็นจำนวนมาก โดยเฉพาะในสภาวะที่เกิดพยาธิสภาพ ROS สามารถทำลายชีวโมเลกุลได้ทุกชนิดโดยก่อให้เกิดปฏิกิริยาลูกโซ่แล้วไปทำลายพันธะในสารประกอบไมเลกุลใหญ่ (macromolecules) ก่อให้เกิดพยาธิสภาพด้วยการทำลาย DNA โปรตีน ไขมัน คอร์โนน เอนไซม์ เป็นต้นและทำลายของเยื่อหุ้มเซลล์ทำให้เซลล์ตาย ก่อให้เกิดโรคต่างๆมากมายโดยเฉพาะโรคมะเร็ง [6-8]

2 การรักษาโรคมะเร็งและปัญหาการต้านทานในเซลล์มะเร็ง

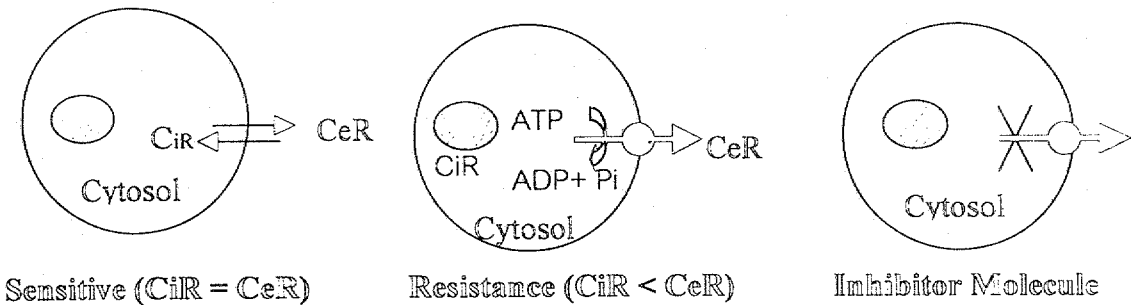
การรักษาโรคมะเร็งวิธีหนึ่งที่นิยมใช้ในปัจจุบันคือ การใช้ยาเคมีบำบัด (chemotherapy) โนเลกุลยาส่วนมากออกฤทธิ์ทำลายเซลล์ โดยมีเป้าหมายการออกฤทธิ์ที่ DNA ทำให้สาย DNA ถูกทำลาย ผลข้างเคียงของยาเคมีบำบัดคือการเกิด ROS ซึ่งทำปฏิกิริยาออกซิเดชันกับโนเลกุลข้างเคียง เป็นแบบไม่เฉพาะเจาะจง จึงทำให้ร่างกายเกิดภาวะเครียดออกซิเดชัน (oxidative stress) เพิ่มมากขึ้น ผู้ป่วยที่ได้รับการรักษาด้วยยาเคมีบำบัดระยะหนึ่งแล้ว ส่วนมากจะเกิดปัญหาการต้านทานหรือยาไม่ตอบ

สนองต่อการทำลายเซลล์มะเร็ง (multidrug resistance) หรือ (MDR) ทำให้ต้องเพิ่มขนาดของยาที่ใช้รักษา ขณะเดียวกันก็จะเกิดผลข้างเคียงตามมากขึ้นตามลำดับ [9-10]

ปัญหาหลักของการดื้อยาแบบ MDR ทำให้มีการสะสมของยาที่ออกฤทธิ์ภายในเซลล์ต่ำ และเซลล์ MDR จะแสดงการดื้อต่อยาอีกหลายชนิด โดยไม่มีความสัมพันธ์ทั้งทางโครงสร้างทางเคมี และวิธีการออกฤทธิ์ของโมเลกุล เป็นการดื้อยาแบบ cross resistance เกี่ยวกับกลุ่มยาที่สำคัญที่มีโปรตีนที่เยื่อหุ้มเซลล์เรียกว่า P-glycoprotein (P-gp) ที่ถูกควบคุมการสร้างโดยยีน mdr และเกี่ยวข้องกับโปรตีนที่เยื่อหุ้มเซลล์อีกชนิดหนึ่งเรียกว่า multidrug resistance associated protein (MRP protein) ที่ถูกควบคุมการสร้างโดยยีน mfp การทำงานของ MRP protein ต้องการ glutathione ซึ่ง glutathione ที่อยู่ในรูปรีดิวเวิร์ฟ (reduced form) จะเกagne กับยาแล้วคอมเพล็กซ์จะถูกขับออกนอกเซลล์ โปรตีนทั้งสองชนิดทำหน้าที่ขับยาออกนอกเซลล์โดยอาศัย ATP ทำให้ความเข้มข้นของยาต่ำไม่เพียงพอที่จะยับยั้งการแบ่งตัวของเซลล์มะเร็ง [11-12] นอกจากนี้ สาเหตุอื่นของการดื้อยาแบบ MDR ยังเกิดจากการสะสมของยาในส่วนต่างๆ ของเซลล์ได้แก่ ไมโตคอนเดรีย lysosomes, golgi bodies [13-14] การเพิ่มความเป็นเบสในชั้นโพลาสตีซ ทำให้ยาสะสมที่เป้าหมายลดลง [15]

การที่เซลล์ MDR สามารถด้านความแตกต่างของความเข้มข้นของสารระหว่างภายนอกเซลล์ และภายในเซลล์ เนื่องมาจากการปั๊มยาของ P-gp ซึ่งต้องใช้ ATP "สถานภาพพลังงานของเซลล์ MDR จะต้องมีการใช้พลังงานสูงกว่าในเซลล์ปกติหรือในเซลล์ที่ไวต่อยา" [16] การสังเคราะห์ ATP ภายในเซลล์มีอยู่ 2 ขบวนการคือ glycolysis ที่เกิดขึ้นใน cytoplasm โดยสารตั้งต้นที่เป็น glucose จะถูกเปลี่ยนเป็น pyruvate ซึ่งขบวนการนี้มีการสร้าง 2 mole ATP และ ขบวนการ oxidative phosphorylation ซึ่งเกิดในเมมเบรนด้านในของไมโตคอนเดรียซึ่งให้ 30 mole ATP คิดเป็น 90-95% ของ ATP ที่สร้างขึ้นในเซลล์ [17] และเป็นแหล่งพลังงานที่สำคัญของเซลล์ นอกจากนี้ไมโตคอนเดรียยังเป็นแหล่งกำเนิด ROS และในภาวะที่ ROS เกิดขึ้นมากอย่างไม่สมดุล จะมีผลโดยตรงต่อการลดลงของความต่างศักย์เมมเบรนของไมโตคอนเดรีย ($\Delta\psi_m$) และการตายของเซลล์ ซึ่ง $\Delta\psi_m$ จะเป็นตัวบ่งชี้โดยตรงถึงสภาพพลังงานที่เกิดขึ้นในไมโตคอนเดรีย โดยจะสัมพันธ์ถึงความสามารถในการสร้าง ATP ของเซลล์

แนวทางหนึ่งในการแก้ปัญหาการดื้อยาแบบ MDR คือ (1) การค้นหาโมเลกุลที่มีคุณสมบัติเป็น substrate ของโปรตีนที่เยื่อหุ้มเซลล์ และไม่เป็นพิษต่อร่างกาย เพื่อยับยั้งการปั๊มยาออกเซลล์ (รูปที่ 1) (2) ตรวจเลือกโมเลกุลที่สามารถเปลี่ยนแปลงสถานะภาพพลังงานของเซลล์ MDR โดยเฉพาะโมเลกุลที่สามารถลดความต่างศักย์เมมเบรนของไมโตคอนเดรีย



CiR = ความเข้มข้นของยาภายในเซลล์

CeR = ความเข้มข้นของยาภายนอกเซลล์

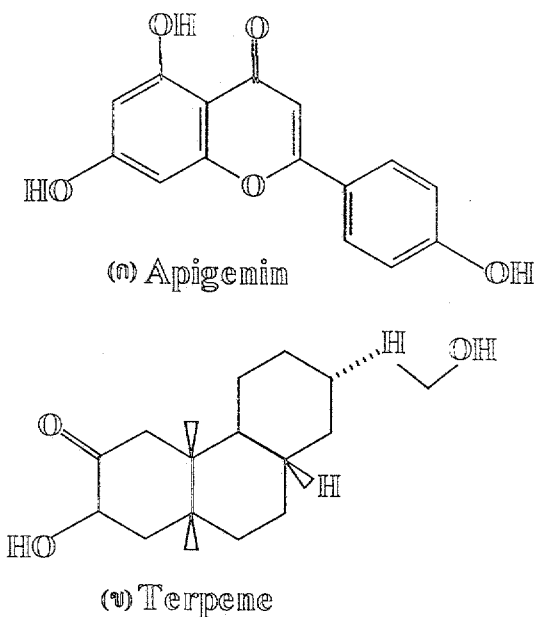
รูปที่ 1 แบบจำลองของเซลล์มะเร็งที่ไวต่อยา ต้านต่อยา และการขับย้งการปั้นยาออกอกนอเซลล์ โดยไม่เลกุล
ที่เป็น INHIBITOR

3 คุณสมบัติ antioxidants ต่อการต้านโรคมะเร็ง

เซลล์มีกลไกต่างๆ มากมายที่จะป้องกันการทำลายโดย ROS กลไกที่เป็น antioxidants เหล่านี้ รวมถึงเอนไซม์หลายชนิดได้แก่เอนไซม์ catalase, glutathione peroxidase (ทำหน้าที่เปลี่ยน H_2O_2 ให้เป็นออกซิเจนและน้ำ) และเอนไซม์ superoxide dismutase (ทำหน้าที่เปลี่ยน O_2^- ให้เป็น H_2O_2 และออกซิเจน) [18-19] นอกจากเอนไซม์ต่างๆ เหล่านี้แล้วยังมีสาร antioxidants ที่เป็นโมเลกุลเล็กๆ ได้แก่ วิตามินซี วิตามินอี carotene, terpene, flavonoid เป็นต้น antioxidants จากภายนอกร่างกาย จะพบอยู่ในผัก ผลไม้ เมล็ดของพืชหลายชนิด แนวคิดในการป้องกันรักษาโรคมะเร็งหรือโรคที่เกิดจาก อนุมูลอิสระ จึงได้มุ่งไปที่การค้นหาและใช้โมเลกุลที่เป็นสารสกัดจากธรรมชาติ ซึ่งมีประสิทธิภาพสูงใน การยับยั้งปฏิกิริยาลูกโซ่จากอนุมูลอิสระ และยับยั้งการแบ่งตัวของเซลล์มะเร็ง โดยที่ไม่เลกุลนี้ไม่ สามารถถูกขับออกอกนอเซลล์ MDR และไม่ก่อให้เกิดผลข้างเคียงที่ไม่พึงประสงค์

ในประเทศไทยบริโภคอาหารประเภท ผัก ผลไม้ ถั่วเหลือง หรือถั่วพืชที่มีส่วนประกอบของ โมเลกุล polyphenols จะพบว่าอัตราการเกิดโรคมะเร็งเต้านม และโรคมะเร็งต่อมลูกหมากต่ำกว่า ประเทศที่บริโภคอาหารดังกล่าวน้อย ซึ่งแสดงถึงประสิทธิภาพในการออกฤทธิ์ต้านมะเร็งของโมเลกุล ในกลุ่ม polyphenols นอกจากนี้โมเลกุลในกลุ่ม polyphenols ยังมีฤทธิ์ทางชีวภาพอีกมากมายได้แก่ ต้านอนุมูลอิสระ ต้านภูมิแพ้ ต้านการอักเสบ ต้านไวรัส [20] คณานุพักริจย์สนิทที่จะศึกษาโมเลกุลใน กกลุ่ม polyphenols 2 ชนิด คือ terpenoid และ flavonoid (apigenin) ซึ่งมีสตรukturร่างดังรูปที่ 2

โดยมีการศึกษาโมเลกุล apigenin และพบว่าสามารถยับยั้งการแบ่งตัวของเซลล์มะเร็งโดย ยับยั้งการทำงานของเอนไซม์ topoisomerase ยับยั้งเฟคเตอร์ที่ควบคุมการแบ่งตัวของเซลล์มะเร็งได้แก่ epidermal growth factor receptor (EGFR), mitogen-activated protein kinase (MAPKs) [21] นอกจากนี้ยังกระตุ้น apoptosis โดยลดความต่างศักย์ของไมโตคอนเดรีย [22] อย่างไรก็ตามการศึกษาในเซลล์ที่ต่างชนิดกันก็จะได้ผลที่แตกต่างกันออกไป ซึ่งการเข้าใจกลไกการออกฤทธิ์ของโมเลกุล polyphenols ต่อเซลล์มะเร็งที่ดีอย่างแนบ MDR จะนำไปสู่การเปลี่ยนแปลงพฤติกรรมการปรินิกอาหารเพื่อป้องกันการเกิดโรคมะเร็ง และยับยั้งผลข้างเคียงที่เกิดจากการรักษาโรคมะเร็ง



รูปที่ 2 โครงสร้างทางเคมีของโมเลกุล APIGENIN (n) และ TERPENE (x)

4 วิศวกรรมชีวภาพ

โมเลกุลในกลุ่ม polyphenols หลายชนิดที่สกัดได้จากพืชในประเทศไทย สามารถกำจัดอนุนุลอิสระของออกซิเจนได้ดี และมีคุณสมบัติต้านมะเร็งในระดับห้องทดลอง แต่ศักยภาพของโมเลกุลที่สามารถใช้เป็นยา 양ไมได้รับการศึกษาที่แท้จริง โครงการวิจัยนี้มีวัตถุประสงค์ดังนี้

- 4.1 ศึกษาประสิทธิภาพในการยับยั้งการแบ่งตัวของเซลล์มะเร็งที่ต้องยาแบบ MDR ของโมเลกุลในกลุ่ม polyphenols 2 ชนิดคือ terpenoid และ flavonoid
- 4.2 ศึกษาประสิทธิภาพของโมเลกุลในกลุ่ม polyphenols ใน การยับยั้งการปั๊มยาออกนอกเซลล์โดยโปรตีนที่เข้าหัวเซลล์ชนิด P-gp และ MRP protein
- 4.3 ศึกษาประสิทธิภาพของโมเลกุลในกลุ่ม polyphenols ในการเปลี่ยนแปลงสภาวะพลังงานในไมโตคอนเดรียของเซลล์ MDR
- 4.4 ศึกษาประสิทธิภาพของโมเลกุลในกลุ่ม polyphenols ในการยับยั้งอนุมูลอิสระชนิดต่างๆ ที่ถูกสร้างขึ้นในเซลล์ที่อยู่ในภาวะเครียด

บทที่ 2 วิธีการทดลองและรัศดุที่ใช้ในการทดลอง

1 Cell culture

เซลล์มะเร็งที่ใช้เป็น model ในการทดลองที่อยู่ในกลุ่ม cell line มี 2 ชนิดคือ เซลล์มะเร็งที่เป็น systemic cancer ชนิด erythromyoleukemic cell ทั้งชนิดไวต่อยา (K562/S) และต้อต่อยา adriamycin (K562/ADR) ซึ่งมีการ expression ของ P-gp ที่ผนังเยื่อหุ้มเซลล์ เซลล์มะเร็งอีกชนิดหนึ่งเป็น solid cancer ชนิด small cell lung carcinoma ทั้งชนิดที่ไวต่อยา (GLC4/S) และต้อต่อยา adriamycin (GLC4/ADR) ซึ่งมีการ expression ของ MRP1 ที่ผนังเยื่อหุ้มเซลล์ เซลล์ที่ต้อต่อยาทั้งชนิด K562/ADR และ GLC4/ADR จะถูกปั่นด้วย 100 nM doxorubicin เป็นเวลา 1-2 สัปดาห์ก่อนทำการทดลอง และตรวจการมีชีวิตของเซลล์ก่อนทำการทดลองทุกครั้งด้วยการย้อม tryphan blue โดยเซลล์ที่ตายแล้วจะสูญเสียคุณสมบัติเป็นเยื่อเลือกผ่าน ตลอดระยะเวลาในการทดลอง พบรการตายของเซลล์ก่อนการทดลองแต่ละชุดไม่เกิน 1-2 %

เซลล์มะเร็งทั้ง 2 ชนิด ถูกเลี้ยงในอาหารเลี้ยงเชื้อชนิด RPMI 1640 โดยเติม 10% fetal bovine serum และ 1% penicillin - streptomycin ปั่นในตู้ควบคุมความเข้มข้นของ CO_2 โดยปรับ อุณหภูมิให้มีค่า 37 องศาเซลเซียส ความชื้น 95% และความเข้มข้นของ $\text{CO}_{2(g)}$ 5% เตรียมเซลล์เริ่มต้น 10^5 cell/ml โดยเซลล์จะเจริญเข้าสู่ระยะ exponential phase ในระยะเวลา 72 ชั่วโมง ซึ่งจะได้ เซลล์ที่มีความเข้มข้นประมาณ $0.8 - 1 \times 10^6 \text{ cell/ml}$ ถ้าเตรียมเซลล์ที่มีความเข้มข้นเริ่มต้น $5 \times 10^5 \text{ cell/ml}$ เซลล์จะเข้าสู่ระยะ exponential phase ในระยะเวลา 24 ชั่วโมง ซึ่งจะได้เซลล์ที่มีความเข้มข้นประมาณ $0.8 - 1 \times 10^6 \text{ cell/ml}$ การนับจำนวนเซลล์ทำโดยใช้ hemocytometer

2 การทดสอบความเป็นพิษ (cytotoxicity) ของนิโคติน terpene, apigenin และ danorubicin (DNR) ต่อเซลล์ K562 และ GLC4

เตรียมเซลล์ที่มีความเข้มข้น $5 \times 10^4 \text{ cell/ml}$ ในอาหารเลี้ยงเชื้อ RPMI 1640 ที่มีปริมาณรัฐธิ 1 มิลลิลิตร ในภาชนะเลี้ยงเชื้อ 24 หลุม ที่เคลือบด้วย polystyrene และเติมความเข้มข้นของโมเลกุลที่ต้องการทดสอบ ที่ความเข้มข้นแตกต่างกัน 12 ความเข้มข้น ในกลุ่ม control จะไม่เติมโมเลกุล จากนั้นนำไปปั่นในตู้ควบคุมความเข้มข้นของ CO_2 โดยปรับอุณหภูมิให้มีค่า 37 องศาเซลเซียส ความชื้น 95% และความเข้มข้นของ $\text{CO}_{2(g)}$ 5% เป็นระยะเวลา 72 ชั่วโมง

จากนั้นนำเซลล์ที่เลี้ยงทั้งที่เติมยาและไม่เติมยาไปนับจำนวนเซลล์ด้วยเทคนิค MTT-reduction โดยเติม 200 μl ของ MTT (0.083 g/l) และนำไปปั่นต่อเป็นเวลา 4 ชั่วโมง จากนั้นนำเซลล์

ไปปั่นแยก และล้างตะกอน formazan ในเซลล์ที่มีชีวิต MTT (3-[4,5-Dimethylthiazol-2-yl]-2,5-diphenyl-tetrazolium bromide) สามารถผ่านเข้าเซลล์ไปเป็น substrate ของเอนไซม์ succinate dehydrogenase ในไมடอกอนเดรีย การเกิด reduction ของ MTT จะได้ผลผลิตเป็น formazan ซึ่งปริมาณ formazan จะมีความสัมพันธ์โดยตรงกับจำนวนเซลล์ที่มีชีวิต เมื่อนำ formazan มาละลายด้วยสารอินทรี DMSO (dimethyl sulphoxide) จะให้สารละลายสีม่วงและเมื่อมาวัดค่าการดูดกลืนแสงด้วยเครื่อง spectrophotometer จะให้ค่าการดูดกลืนแสงที่ 560 nm

ประสิทธิภาพของโมเลกุลแสดงโดยค่า IC_{50} ซึ่งหมายถึงความเข้มข้นของโมเลกุลที่ทดสอบสามารถยับยั้งการเพิ่มจำนวนเซลล์ได้ 50 % และเปอร์เซ็นต์การยับยั้งการเพิ่มจำนวนเซลล์ (%IC) คำนวนได้จากความสัมพันธ์ต่อไปนี้

$$\%IC = 100 \times \frac{[Abs_{560}(control) - Abs_{560}(5 \times 10^4 Cells)] - [Abs_{560}(drug) - Abs_{560}(5 \times 10^4 Cells)]}{[Abs_{560}(control) - Abs_{560}(5 \times 10^4 Cells)]}$$

$Abs_{560}(\text{control})$ = ความเข้มของ การดูดกลืนแสงที่ 560 nm โดยเลี้ยงเซลล์ในอาหารไม่มีโมเลกุล
 $Abs_{560}(\text{drug})$ = ความเข้มของ การดูดกลืนแสงที่ 560 nm โดยเลี้ยงเซลล์ในอาหารมีโมเลกุล
 $Abs_{560}(5 \times 10^4)$ = ความเข้มของ การดูดกลืนแสงที่ 560 nm จำนวนเซลล์ = 5×10^4 เซลล์/มิลลิลิตร

3 การทดสอบความเป็นพิษโดยใช้โมเลกุล terpene หรือ apigenin ร่วมกับยาต้านมะเร็ง DNR

ทำการทดลองเช่นเดียวกับข้อ 2 และใช้ความเข้มข้นของโมเลกุล terpene คงที่ 2, 4, 6 μM และโมเลกุล apigenin คงที่ 2, 4, 6, 8 μM โดยเปลี่ยนแปลงค่าความเข้มข้นของ DNR เพิ่มขึ้นตามลำดับ

ประสิทธิภาพของโมเลกุล terpene และ apigenin ที่สามารถส่วนตัวกับยาต้านมะเร็ง DNR ต่อเซลล์มะเร็งที่ดื้อยาแบบ MDR และเซลล์มะเร็งที่ไวต่อยา สามารถคำนวนได้จากความสัมพันธ์ต่อไปนี้

$$\%IC_{DNR} = \frac{100 \times [IC_{50(DNR)} - IC_{50(DNR+Molecule)}]}{IC_{50(DNR)}}$$

$IC_{50(DNR)}$ = ความเข้มข้นของ DNR ที่ยับยั้งการแบ่งตัวของ MDR cell ได้ 50%

$IC_{50(DNR+โมเลกุล)}$ = ความเข้มข้นของ DNR ที่ยับยั้งการแบ่งตัวของ MDR cell ได้ 50% ในสภาวะที่มีโมเลกุล terpene หรือ apigenin ที่ความเข้มข้นแตกต่างกัน

4 การเตรียมสารละลายน้ำ

สารละลายน้ำ Hepes-Na⁺ ประกอบด้วย NaCl 132 mM, KCl 3.5 mM, CaCl₂ 1 mM, MgCl₂ 1.5 mM, Hepes 20 mM และ Glucose 5 mM ละลายในน้ำกลั่น 2 ครั้งโดยมีค่าความต้านทาน -18 MΩ ปรับ pH เป็น 7.3 ที่อุณหภูมิ 25 องศาเซลเซียส ด้วยสารละลายนาโน NaOH 0.1 N

สารละลายน้ำ DNR เข้มข้นประมาณ 10⁻⁴ M ถูกเตรียมก่อนใช้งานและวัดความเข้มข้นด้วย spectrophotometer รุ่น UV-2501 PC Shimadzu โดยใช้ค่าสัมประสิทธิ์การดูดกลืนแสง (molar extinction coefficient) ที่ 480 นาโนเมตร เท่ากับ 11500 mol⁻¹.cm⁻¹.L

5 การทดสอบจดจำสารต่อประสิทธิภาพของโมเลกุล terpene หรือ apigenin ในการเพิ่มความเข้มข้น DNR สะสมภายในเซลล์

การศึกษานี้ทำโดยใช้เทคนิค spectrofluorometry ซึ่งเทคนิคนี้มีความแม่นยำสูงและมีประสิทธิภาพสูงทำให้สามารถวัดความเข้มข้นของยาที่เรืองแสง ในเซลล์โดยไม่ทำลายเซลล์และสมดุลของระบบ เทคนิค fluorescence นี้ต้องยุบเนื้อร้าของการสังเกตการเรืองแสงของโมเลกุล DNR ซึ่งความเข้มของสัญญาณการเรืองแสงจะลดลง (quenching) เมื่อมีโมเลกุล DNR เข้าไปสอดอยู่ระหว่างคู่เบสของ DNA โดยพบว่าการเกิด quenching จะเกิดอย่างรวดเร็วทั้งในกรณีของ DNA ที่อยู่ในรูปของสารละลายน้ำใน isolated nucleus ของเซลล์

Fezard et al. [23-25] พบร่วมกับ anthracyclines ในรูป neutral สามารถซึมผ่าน (passive diffusion) เข้าไปในเซลล์ และปฏิกิริยาระหว่าง anthracyclines และ liposomes หรือเซลล์ที่ไม่มี nucleus เช่น platelets และเม็ดเลือดแดง ไม่ปรากฏการเปลี่ยนแปลงของสัญญาณการเรืองแสงของ anthracyclines แต่พบว่าปฏิกิริยาระหว่าง anthracyclines และ DNA ทำให้สัญญาณการเรืองแสงดับ (quenching) อย่างรวดเร็วทั้งในกรณีของ DNA ที่อยู่ในรูปของสารละลายน้ำและใน

isolated nucleus ของเซลล์ เช่นในกรณีของ DNA ที่อยู่ในรูปของสารละลาย จะเกิดภายในเวลาต่ำกว่า 1 วินาที ในกรณีของ isolated nucleus ของเซลล์จะเกิดภายในเวลา 10-15 วินาที แต่ในกรณีที่เป็น intact cell ที่แขวนด้วยอยู่ในสารละลายบัฟเฟอร์ ที่มี anthracyclines สัญญาณการเรืองแสงของโมเลกุลจะลดลงซึ่งหากว่าอย่างมีนัยสำคัญทั้งนี้ขึ้นอยู่กับชนิดของ anthracyclines

การซึมผ่านของโมเลกุล anthracyclines ไปยัง nucleus ถูกทำให้ช้าลงเนื่องจากมี เมมเบรน เป็นตัวจำกัด (limiting step) การลดลงของสัญญาณการเรืองแสงต่อเวลาคือความเร็วในการซึมผ่านของโมเลกุล anthracyclines ผ่านเมมเบรนของเซลล์

5.1 การตัดปริมาณ anthracyclines ที่สอดคล้องระหว่างคุ้มulative DNA ภายใน nucleus ของเซลล์

ให้ F_0 คือความเข้มของสัญญาณการเรืองแสงของ anthracyclines ที่เวลา $t = 0$ ซึ่งแสดงถึงความเข้มข้นของ anthracyclines ที่เดิมลงใน cuvette ที่บรรจุสารละลายบัฟเฟอร์ที่มีเซลล์แขวนด้วยอยู่ กวนให้สม่ำเสมอและควบคุมอุณหภูมิให้เท่ากัน 37 องศาเซลเซียส ของเครื่อง spectrophotometer (LS50B, Perkin Elmer)

ในกรณีของเซลล์ที่ไม่ต่อยาหรือเซลล์ที่ดื้อต่อยา สัญญาณการเรืองแสง ต่อเวลา $F = f(t)$ จะลดลงและคงที่ในที่สุด ซึ่งหมายถึงระบบ anthracyclines - cells จะเข้าสู่ภาวะคงที่ (steady - state) โดยความเข้มของสัญญาณการเรืองแสงเท่ากับ F_n (รูปที่ 3)

การลดลงของสัญญาณการเรืองแสงของ anthracyclines แสดงถึงปริมาณของ anthracyclines โดยรวมที่เข้าไปสอดคล้องระหว่างคุ้มulative DNA ภายใน nucleus ของเซลล์ ใช้สัญลักษณ์ C_n

$$C_n = \frac{(F_0 - F_n)}{F_0}$$

เมื่อ C_n คือความเข้มข้นของ anthracyclines ที่เดิมลงไปในสารละลายที่มีเซลล์

ระบบ anthracyclines - cells เข้าสู่ภาวะสมดุล (equilibrium state) โดยเติม 0.01 % (v/v) ของสารละลาย triton X-100 เพื่อ permeable plasma membrane ซึ่งที่ภาวะสมดุลนี้ความเข้มของสัญญาณการเรืองแสงใช้สัญลักษณ์ F_T และความเข้มของ anthracyclines รวมใน nucleus คือ C_N

$$C_N = \frac{C_n(F_0 - F_T)}{F_0}$$

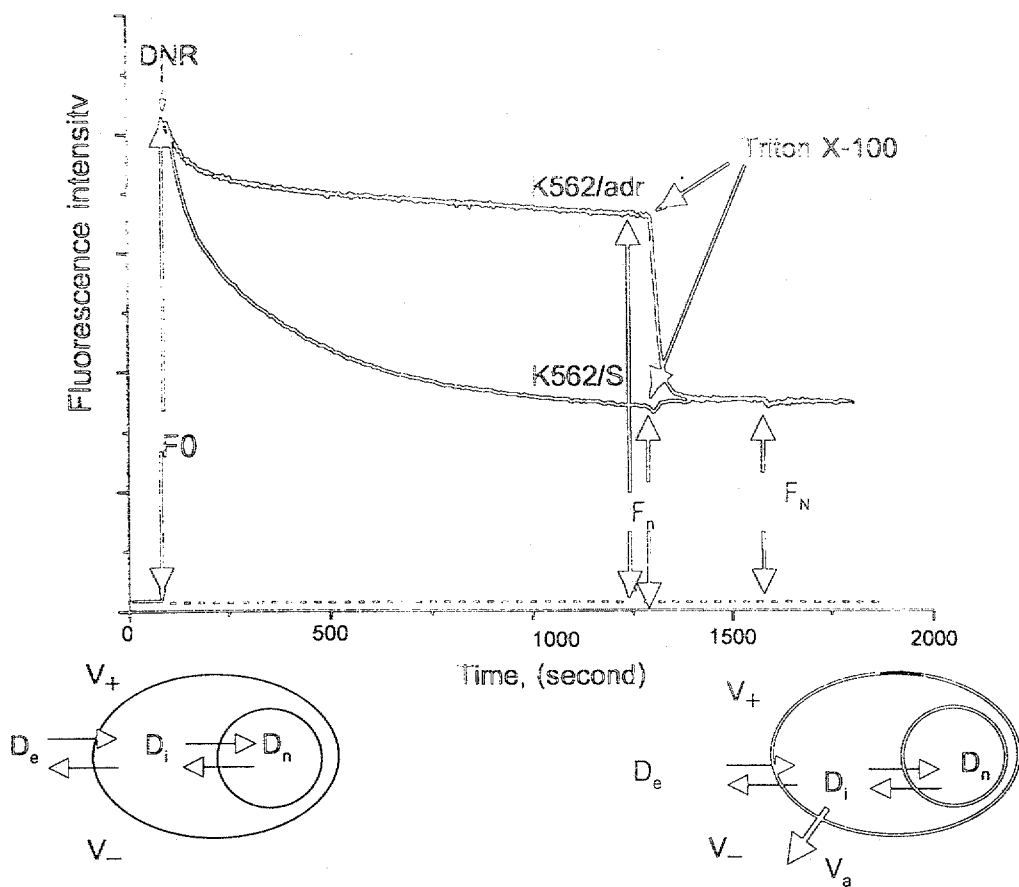
5.2 การยับยั้งการปั๊มน้ำออกนอกเซลล์ของ P-glycoprotein ด้วยโนเลกุล terpene และ皂igenin

การศึกษาผลของโนเลกุลต่อการทำงานของ P-gp กระทำโดยเตรียมสารละลายบัฟเฟอร์ที่มีเซลล์ตื้ออยาบ่มกับ anthracycline 1 μM เมื่อระบบเข้าสู่สภาพคงที่ จึงเติมโนเลกุลที่ทดสอบลงไปรือในระบบเข้าสู่สภาพสมดุลใหม่ (รูปที่ 3) และ(รูปที่ 4) รึงสัญญาณความเข้มแสงที่สภาวะสมดุลใหม่นี้ให้สัญญาณการเรืองแสงเท่ากับ F_n^i และความเข้มข้นของ anthracycline รวมที่สะสมใน nucleus ของเซลล์มีค่าเท่ากับ

$$C_n^i = \frac{C_T(F_0 - F_n^i)}{F_0}$$

ประสิทธิภาพในการยับยั้งการทำงานของ P-gp (α) คำนวณได้จากการสัมพันธ์

$$\alpha = \frac{(C_N - C_n^i)}{(C_N - C_n)}$$

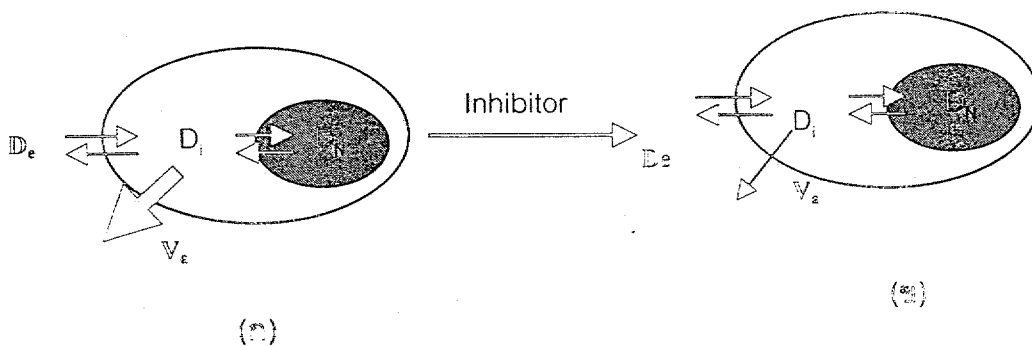


รูปที่ 3 จล耷สตร์การเข้าสู่เซลล์ที่ไวต่อยาและต้านต่อยาของ DNR

F₀, F_n, F_N ความเข้มของสัญญาณเรืองแสงของ DNR ที่เวลา t=0, ที่สภาวะคงที่ และ ที่สภาวะสมดุล

D_e, D_i, D_n ความเข้มข้นของ DNR ที่อยู่นอกเซลล์ ที่อยู่ในชั้น Doylestine และที่อยู่ในนิวเคลียส

V₊, V₋, V_a ความเร็วของ DNR ที่เข้มผ่านเข้าเซลล์ ที่เข้มผ่านออกนอกเซลล์ และที่ถูกบีบมอกนอกเซลล์



รูปที่ 4 ภาพแสดงการทำงานของ P-GP ในเซลล์ต่อยาที่ไม่มีโมเลกุลที่เป็น INHIBITOR (1)
และในเซลล์ต่อยาที่มี INHIBITOR (2)

D_e = ความเข้มข้นของยานอกเซลล์

D_i = ความเข้มข้นของยาในชั้นตอพลาสซีม

D_N = ความเข้มข้นของยาในนิวเคลียส

V_a = ความเร็วในการปั๊มยาออกนอกเซลล์

6 ประวัติการของโมเลกุล apigenin ต่อความต่างศักย์เมมเบรนของไมโตกอนเดรีย และการกำจัด ROS ที่ไมโตกอนเดรีย

6.1 การตัดความต่างศักย์เมมเบรนของไมโตกอนเดรีย ในชั้นที่เซลล์มีชีวิต

การวัดความต่างศักย์เมมเบรนของไมโตกอนเดรียในชั้นที่เซลล์มีชีวิต ศึกษาโดย

spectrofluorescence ใช้เทคนิค colocalization ของโมเลกุล rhodamine B กับ MTT - reduction เนื่องจาก rhodamine B มีคุณสมบัติเป็น substrate ที่เปลี่ยน P-gp และไม่เป็น substrate ของ MRP1 ทำให้ rhodamine B ถูกปั๊มออกเซลล์ได้น้อยใน MDR เซลล์ นอกจากนี้ rhodamine B ยัง มีคุณสมบัติเป็น lipophilic cation จึงมีเป้าหมายการสะสมอย่างเฉพาะเจาะจงที่ไมโตกอนเดรียตาม ลักษณะความต่างศักย์ของเมมเบรน [26]

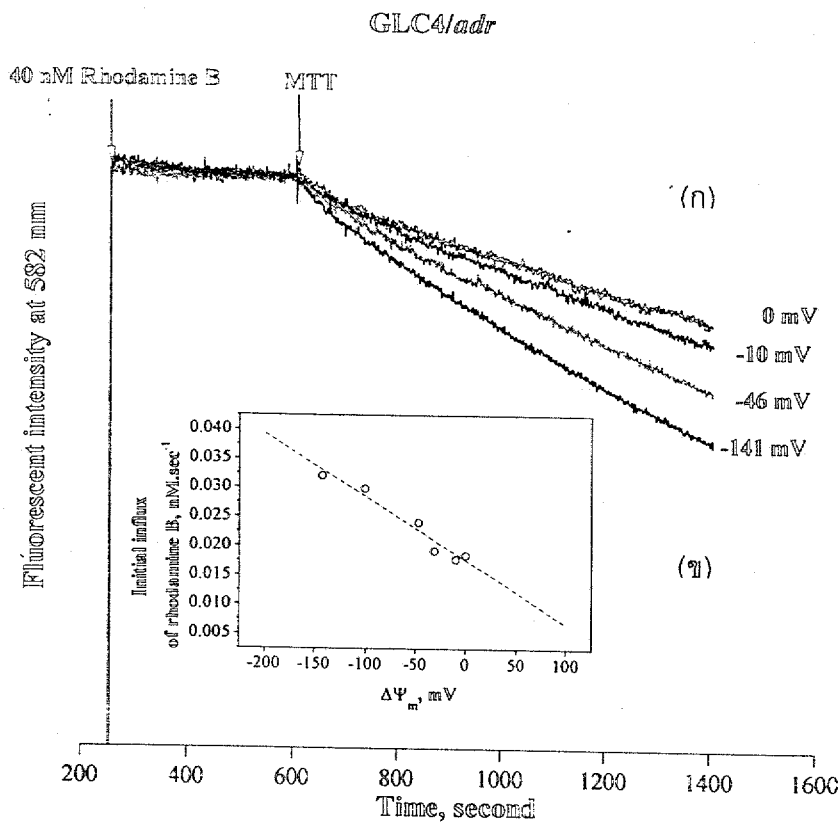
MTT - reduction ใช้ในการติดตามการทำงานของไมโตกอนเดรีย โดย MTT ถูกรีดิวส์โดย เคนไซม์ succinate dehydrogenase ใน complex II ของการหายใจดับเซลล์ในไมโตกอนเดรีย ทำ ให้มีการถ่ายทอดอิเลคตรอนเพิ่มมากขึ้น ความต่างศักย์เมมเบรนของไมโตกอนเดรียและการสร้าง ATP เพิ่มขึ้น เป็นผลให้เพิ่มการสะสมของ rhodamine B มากขึ้นในไมโตกอนเดรีย ดังนั้น MTT - reduction จึงมีผลขยายสัญญาณทำให้สามารถติดตามการเปลี่ยนแปลงการทำงานของไมโตกอน เดรียซึ่งสะท้อนถึงการเปลี่ยนแปลงความต่างศักย์เมมเบรนของไมโตกอนเดรียในชั้นที่เซลล์ยังมีชีวิต [27]

เนื่องจากผลผลิตของ MTT – reduction ทำให้เกิด formazan ในไมโตคอนเดรีย และผลึก nazan ทำให้สัญญาณ rhodamine B ดับลง (quenching) ดังนั้นการติดตามการลดลงของ สัญญาณ rhodamine B ที่ 582 nm (excite 553 nm) จึงเป็นสัดส่วนโดยตรงกับความเข้มข้นของ rhodamine B ซึ่งผ่านเมมเบรนของไมโตคอนเดรียตามลาดความต่างศักย์ การลดลงของสัญญาณ rhodamine B เพียงเล็กน้อยสามารถแสดงถึงการเปลี่ยนแปลงความต่างศักย์เมมเบรนของไมโตคอนเดรียได้อย่างมีนัยสำคัญ โดยคำนวณได้จาก slope of tangent ของ F ในช่วงเวลาหนึ่ง F(t) เมื่อ F คือ สัญญาณ rhodamine B เริ่มต้น ด้วยเทคนิคนี้สามารถติดตามการเปลี่ยนแปลงความต่างศักย์เมมเบรนของไมโตคอนเดรียในขณะที่เซลล์ยังมีชีวิต เป็นจากการปั่นเซลล์ด้วย MTT ทำให้เซลล์มี P และ viability เพิ่มขึ้น

จากเทคนิคดังกล่าวทำให้สามารถคำนวณความต่างศักย์เมมเบรนของไมโตคอนเดรีย โดยให้ความต่างศักย์เกิดดีโพลาไรเซชันเพิ่มขึ้นที่ละน้อย โดยการเปลี่ยนแปลงความเข้มข้นของไปแต่ละรูมอ่อนในบัฟเฟอร์ และติดตามการเปลี่ยนแปลงสัญญาณ rhodamine B ซึ่งแสดงโดยกราฟมาตรฐาน (calibration curve) ระหว่างความต่างศักย์เมมเบรนของไมโตคอนเดรีย กับ อัตราเร็วของการสลาย rhodamine B ในไมโตคอนเดรีย (รูปที่ 5) ซึ่งมีความสัมพันธ์เป็นเส้นตรง [27]

2. ประสิทธิภาพของโมเลกุล apigenin ต่อการเปลี่ยนแปลงความต่างศักย์เมมเบรนของไมโตคอนเดรีย ในสภาวะปกติ และในสภาวะ oxidative stress

การทดสอบประสิทธิภาพของโมเลกุล apigenin ต่อการเปลี่ยนแปลงความต่างศักย์เมมเบรน ของไมโตคอนเดรีย และการกำจัด ROS ที่ไมโตคอนเดรีย โดยปั่นเซลล์กับโมเลกุล apigenin ที่ความเข้มข้นเพิ่มขึ้นตามลำดับ ในสภาวะที่เซลล์ปกติ และที่ปั่นเซลล์ในสภาวะต่างๆเพื่อชักนำให้เกิดภาวะ oxidative stress จากภายนอกโดยปั่นเซลล์ด้วย H_2O_2 100 μM 2 ชั่วโมง และจากภายในโดยปั่นเซลล์ด้วย BSO (DL-Buthionine-[S,R]-Sulfoximine) 50 μM 20 ชั่วโมง และปั่นต่อด้วย H_2O_2 100 μM 2 ชั่วโมง และติดตามการลดลงของสัญญาณ rhodamine B ที่ 582 nm (excite 553 nm) การลดลงของสัญญาณ rhodamine B เพียงเล็กน้อยสามารถแสดงถึงการเปลี่ยนแปลงความต่างศักย์เมมเบรนของไมโตคอนเดรียได้อย่างมีนัยสำคัญ



5 การวัดความต่างศักย์ของไมโตกอนเดรียโดย RHODAMINE B และ MTT-REDUCTION (n) กราฟ มาตรฐาน (CALIBRATION CURVE) ระหว่างความต่างศักย์เมมเบรนของไมโตกอนเดรีย กับ จัตราช เรื่องของการลด Rhodamine B ในไมโตกอนเดรีย (x)

บทที่ 3 ผลการทดลองและอภิปรายผลการทดลอง

โมเลกุลในกลุ่ม terpenoid และ flavonoid เป็นองค์ประกอบในพืชหลายชนิด ที่กระจายอยู่ในประเทศไทย และโมเลกุลในกลุ่มนี้หลายชนิดมีศักยภาพในการเสริมภูมิคุ้มกัน เป็น antioxidant ที่มีศักยภาพสูง ในงานวิจัยนี้ได้ทำการศึกษาความสามารถในการเป็น antioxidant และ anticancer ของโมเลกุล terpene ที่สกัดบริสุทธิ์ได้จากพืชที่มีอยู่ในประเทศไทย เปรียบเทียบกับโมเลกุล flavonoid โดยศึกษาในเซลล์มะเร็ง MDR และเซลล์มะเร็งที่ไวต่อยา ผลการทดลองมีดังนี้

1 ผลการทดลอง

1.1 ศึกษาเปรียบเทียบประสิทธิภาพในการยับยั้งการเพิ่มจำนวนของเซลล์มะเร็ง โดยโมเลกุล terpene และโมเลกุล apigenin โดยเปรียบเทียบโมเลกุลทั้งสองกับยา抗癌 มะเร็ง daunorubicin (DNR)

เซลล์มะเร็งที่ใช้ในการศึกษามี 2 ชนิดคือ K562 เป็น systemic cancer ทั้งชนิดดื้อต่อยา และไวต่อยา adriamycin ซึ่ง ชนิดดื้อต่อยา มี โปรตีนที่เยื่อหุ้มเซลล์ขนาด 170-kDa เรียกว่า P-glycoprotein (P-gp) เซลล์มะเร็งอีกชนิดหนึ่งคือ GLC₄ เป็น solid cancer ทั้งชนิดดื้อต่อยา และไวต่อยา adriamycin ซึ่งชนิดดื้อต่อยา มี โปรตีนที่เยื่อหุ้มเซลล์ขนาด 190-kDa เรียกว่า multidrug resistance-associated protein (MRP1) ผลการทดลองแสดงในตารางที่ 1 พบว่า DNR มีประสิทธิภาพในการยับยั้งการเพิ่มจำนวนของเซลล์มะเร็ง K562/S และ GLC4/S ได้ดีที่สุดในระดับนาโนมิลลิเมตร และเมื่อเปรียบเทียบระหว่างโมเลกุล terpene กับ apigenin พบว่าโมเลกุล apigenin มีประสิทธิภาพในการยับยั้งการเพิ่มจำนวนของเซลล์มะเร็งที่ไวต่อยาได้ดีกว่าโมเลกุล terpene ถึง 3 เท่าในเซลล์มะเร็ง K562/S และ 2 เท่าในเซลล์มะเร็ง GLC/S ซึ่งต้องใช้ความเข้มข้นของโมเลกุลในระดับไมโครเมตร ถ้วน

ในเซลล์มะเร็งที่ดื้อต่อยา พบว่า ทั้งโมเลกุล terpene และ apigenin มีประสิทธิภาพในการยับยั้งการเพิ่มจำนวนของเซลล์มะเร็ง K562/ADR และ GLC4/ADR ได้ใกล้เคียงกับเซลล์มะเร็งที่ไวต่อยา โดยมีค่า RF อยู่ในช่วง (0.94 – 1.11) แต่เมื่อเปรียบเทียบระหว่างโมเลกุล terpene กับ apigenin พบว่าในเซลล์มะเร็งที่ดื้อต่อยา โมเลกุล apigenin มีประสิทธิภาพในการยับยั้งการเพิ่มจำนวนของเซลล์มะเร็งที่ดื้อต่อยาได้ดีกว่าโมเลกุล terpene ถึง 3 เท่าในเซลล์มะเร็ง K562/ADR และ 2 เท่าในเซลล์มะเร็ง GLC4/ADR เนื่องจากโมเลกุลทั้งสองมีประสิทธิภาพในการยับยั้งการเพิ่มจำนวนของเซลล์มะเร็งต่ำ เมื่อเทียบกับยา抗癌 มะเร็ง DNR จึงน่าจะมีการศึกษาประสิทธิภาพของโมเลกุลทั้ง 2 ชนิด

การยับยั้งการทำงานของเมมเบรนโปรตีน และเพิ่มการสะสมของ DNR ภายในเซลล์มากขึ้น ซึ่ง
กาโดยใช้เป็นโมเลกุลร่วมในการรักษา (co-treatment) กับยาต้านมะเร็ง DNR

ตารางที่ 1 ค่า IC_{50} ของเซลล์ที่ไวต่อยา และค่า RF ของโมเลกุล DNR, terpene และ apigenin

Molecule	K562		GLC ₄	
	IC_{50} (S)	RF	IC_{50} (S)	RF
R	49.57 ± 8.5 nM	30.43 ± 1.6	26.08 ± 7.4 nM	12.36 ± 1.6
Terpene	79.5 ± 2.12 μM	0.94 ± 0.08	52.5 ± 3.5 μM	1.09 ± 0.06
Apigenin	26.56 ± 2.25 μM	0.95 ± 0.1	25.12 ± 5.1 μM	1.17 ± 0.22

IC_{50} (S) คือค่าความเข้มข้นของยาที่สามารถยับยั้งการเพิ่มจำนวนของเซลล์มะเร็งที่ไวต่อยา 50%

RF (resistance factor) คือค่าที่นิยามจากสัดส่วนของ IC_{50} ของเซลล์ที่ดื้อยา / IC_{50} ของเซลล์ที่ไวต่อยา

ข้อมูล (data) แสดงโดยค่าเฉลี่ย (mean) ± ค่าเบี่ยงเบนมาตรฐาน (standard deviation) การทดลอง 3-5 ครั้ง

ศึกษาเปรียบเทียบประสิทธิภาพในการยับยั้งการเพิ่มจำนวนของเซลล์มะเร็ง ระหว่าง โมเลกุล terpene และ apigenin โดยใช้เป็นโมเลกุลร่วมในการรักษา (co-treatment) ร่วมกับ DNR

เมื่อใช้ความเข้มข้นของโมเลกุล terpene และ apigenin ในระดับความเข้มข้นต่ำๆ 2-8 μM กับ DNR ทำให้เกิดการเปลี่ยนแปลงประสิทธิภาพในการยับยั้งการเพิ่มจำนวนของเซลล์มะเร็งของ 2 ดังแสดงในตารางที่ 2 และในรูปที่ 6

การออกฤทธิ์ของโมเลกุล terpene ในระดับความเข้มข้น 2-6 μM ร่วมกับ DNR พบร่วมกับ terpene ไม่มีผลต่อการเพิ่มประสิทธิภาพของ DNR ในการยับยั้งการเพิ่มจำนวนของเซลล์ K562/ADR และ GLC4/ADR โดยมีร้อยละการลดลงของค่า IC_{50} ของ DNR เท่ากับ (-6.1) ถึง (1.4) ในเซลล์มะเร็ง K562/ADR และเท่ากับ (-77.3) ถึง (-84.8) ในเซลล์มะเร็ง GLC4/ADR

ทำให้ต้องใช้ความเข้มข้นของ DNR เพิ่มขึ้น จึงสามารถเพิ่มประสิทธิภาพของ DNR ในการยับยั้งการเพิ่มจำนวนของเซลล์มะเร็ง K562/ADR และ GLC4/ADR อาจเป็นผลเนื่องจากโมเลกุล terpene ออกฤทธิ์กระตุ้นกระบวนการป้องกันตัวเองของเซลล์ต่อยาหรือสิ่งแปรกปลอมที่เป็นพิษ

เมื่อศึกษาการออกฤทธิ์ของโมเลกุล apigenin ในระดับความเข้มข้น 2-8 μM ร่วมกับ DNR พบว่าโมเลกุล apigenin ที่ระดับความเข้มข้น 8 μM มีผลเพิ่มประสิทธิภาพของ DNR ในการยับยั้งการเพิ่มจำนวนของเซลล์มะเร็ง โดยมีร้อยละการลดลงของค่า IC_{50} ของ DNR เท่ากับ 53.0, 61.3, 90.7, 82.1 ในเซลล์มะเร็ง K562/S, K562/ADR, GLC4/S, GLC4/ADR ตามลำดับ โดยโมเลกุล apigenin 8 μM สามารถออกฤทธิ์เสริมกับ DNR ทำให้ความเข้มข้นของ DNR ลดลง เมื่อเปรียบเทียบกับการใช้ DNR เพียงชนิดเดียว นั่นคือโมเลกุล apigenin เมื่อใช้ในระดับความเข้มข้นต่ำๆร่วมกับ DNR สามารถกระตุ้นให้เกิดการตายของเซลล์เพิ่มขึ้น และส่งผลให้การใช้ยาต้านมะเร็ง DNR ลดลง กลไกที่น่าจะเป็นไปได้คือ โมเลกุล apigenin สามารถยับยั้งการทำงานของโปรตีนเมมเบรนที่ทำหน้าที่ขับยาออกนอกเซลล์ และทำให้ความเข้มข้นของยาต้านมะเร็ง DNR สะสมภายในเซลล์เพิ่มขึ้น เนื่องจากประสิทธิภาพของยาขึ้นกับความเข้มข้นของยาที่สะสมอยู่ที่เป้าหมายการออกฤทธิ์

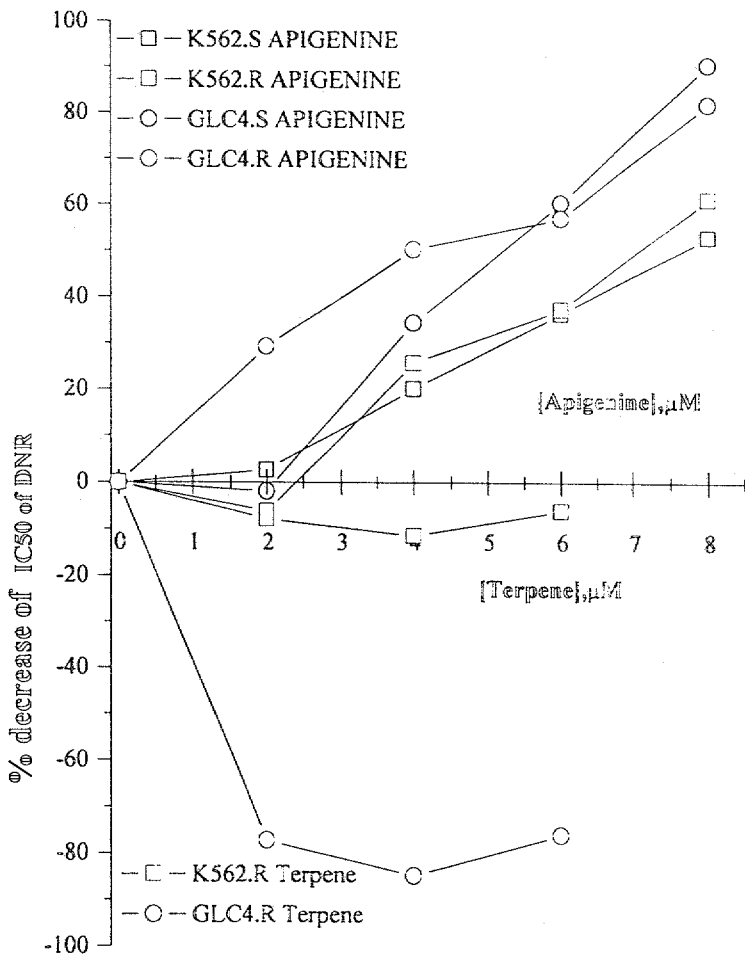
ตารางที่ 2 ค่า IC_{50} ของ DNR (μM) เมื่อเติมโมเลกุล terpene หรือ apigenin ที่ความเข้มข้น 2

μM , 4 μM , 6 μM , 8 μM

	DNR (μM)	DNR + Terpene			DNR + Apigenin			
		2 μM	4 μM	6 μM	2 μM	4 μM	6 μM	8 μM
K562	49.6 \pm 8.5				48.3 \pm 5.7	39.7 \pm 10	31.6 \pm 8.3	23.3 \pm 6.5
K562/adr	1508 \pm 79	1625 \pm 35	1680 \pm 28	1600 \pm 0	1602 \pm 31	1122 \pm 46	947.5 \pm 74	583 \pm 39
GLC ₄	26.8 \pm 7.4				27.3 \pm 6.6	17.6 \pm 2.8	10.6 \pm 1.9	2.5 \pm 0.45
GLC ₄ /adr	322 \pm 41.4	571 \pm 16	595 \pm 7	567 \pm 25	228 \pm 12	160 \pm 14	138.5 \pm 19	57.5 \pm 10.6

IC_{50} คือค่าความเข้มข้นของยาที่สามารถยับยั้งการเพิ่มจำนวนของเซลล์มะเร็งได้ 50%

ข้อมูล (data) แสดงโดยค่าเฉลี่ย (mean) \pm ค่าเบี่ยงเบนมาตรฐาน (standard deviation)
จากการทดลอง 3-5 ครั้ง



ที่ 6 เปรียบเทียบเปอร์เซ็นต์การลดลงของค่า IC_{50} ของ DNR ระหว่าง โน阴谋กุล TERPENE และ APIGENIN ในการขับยั้งการแบ่งตัวของเซลล์มะเร็งร่วมกับ DNR

3 ศึกษาคุณค่าสัมาร์การทดสอบของ DNR ในเซลล์ และความสามารถของโน阴谋กุล terpene และ apigenin ในการขับยั้งการขับยั้ง DNR ของกลอกเซลล์มะเร็ง

การศึกษานี้ทำโดยใช้เทคนิค spectrofluorometry โดยติดตามสัญญาณการเรืองแสงของ VR ภายหลังจากการปั่นเซลล์กับโน阴谋กุล terpene ที่ระดับความเข้มข้น 25-275 μM ในเซลล์มะเร็ง K562/ADR พบว่าความเข้มข้นของ DNR ที่สามารถนิวเคลียสมีค่า $\alpha_{0.2}$ เท่ากับ 205 μM แสดงว่า

ต้องใช้ความเข้มข้นของ terpene 205 μM จึงสามารถเพิ่มการสะสมของ DNR ในนิวเคลียสได้ 20 % ส่วนในเซลล์มะเร็ง GLC4/ADR พบร่วมกับ terpene มีประสิทธิภาพในการเพิ่มการสะสม DNR ในนิวเคลียสได้มากกว่าเซลล์มะเร็ง K562 ที่ดีอ่อนโยน โดยมีค่า $\alpha_{0.5}$ เท่ากับ 120 μM

สำหรับโมเลกุล apigenin มีค่า $\alpha_{0.2}$ เท่ากับ 250, 300 μM ในเซลล์มะเร็ง K562/ADR และ GLC4/ADR แสดงว่า โมเลกุล terpene และ apigenin (ในระดับความเข้มข้นที่อยู่ในช่วงสูงกว่าค่า IC_{50}) ($\text{IC}_{50} = 26 \mu\text{M}$) มีประสิทธิภาพต่ำมากมากในการยับยั้งการขับยาออกนอกเซลล์โดย P-gp และ MRP1 จากการศึกษาของ Conseil และคณะ [28] โดยแยกเฉพาะส่วนที่เป็น hexahistidine-tagged C-terminal nucleotide-binding domain ($\text{H}_6\text{-NBD2}$) ของ P-gp ในหนู mouse พบร่วมกับโมเลกุลในกลุ่ม flavonoids เป็น bifunctional modulators ของ P-gp และมีตำแหน่งที่เป็น binding site 2 แห่งคือ vicinal ATP-binding site และ steroid-binding site ภายในส่วนที่เป็น cytosolic domain ของ P-gp แต่ในการศึกษาครั้งนี้ได้ศึกษา P-gp และ MRP1-protein ในเซลล์ที่ยังมีชีวิต ดังนั้นจึงมีความเป็นไปได้ที่จะพบโมเลกุล apigenin เป็น substrate ของ P-gp เช่นเดียวกับในส่วนของโปรตีนที่แยกมาศึกษา แต่มีค่ากีฬาการทำงานของโปรตีนที่เป็นองค์รวมในเซลล์ขณะที่มีชีวิต จึงไม่พบว่า โมเลกุล apigenin สามารถยับยั้งการขับยาออกนอกเซลล์ของ P-gp เนื่องจากโมเลกุล apigenin มีประสิทธิภาพในการเสริมฤทธิ์ของ DNR สูง และมีประสิทธิภาพต่ำมากมากในการยับยั้งการขับยาออกนอกเซลล์โดย P-gp และ MRP1 กลไกหนึ่งที่มีความเป็นไปได้คือโมเลกุล apigenin ออกฤทธิ์เปลี่ยนแปลงสถานภาพพลังงานของไมโตคอนเดรียของเซลล์ MDR โดยเฉพาะการลดความต่างศักย์เมบราวน์ของไมโตคอนเดรีย ทำให้ระดับ ATP ของเซลล์ลดต่ำลง

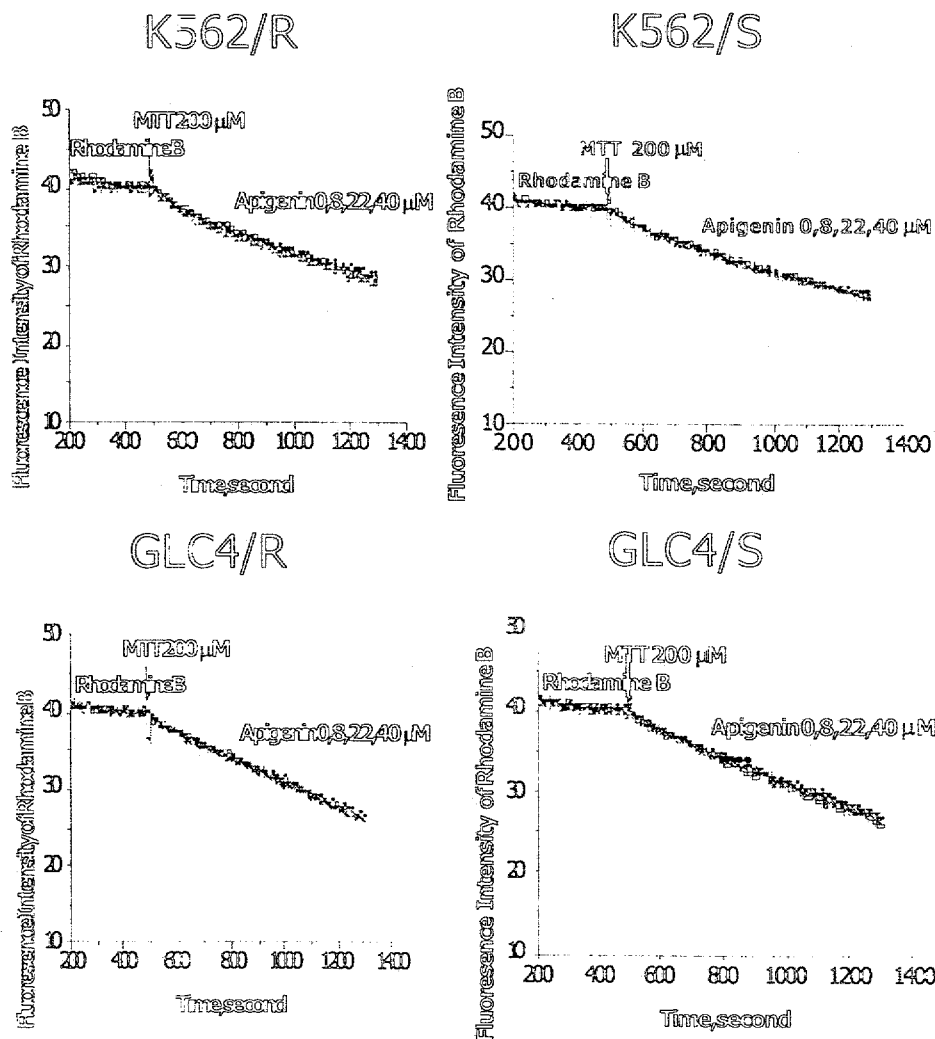
1.4 ประสิทธิภาพของโมเลกุล apigenin ต่อความต่างศักย์เมบราวน์ของไมโตคอนเดรีย และการกำจัด ROS ที่ไมโตคอนเดรีย

เนื่องจากโมเลกุล apigenin ในระดับความเข้มข้น 2-8 μM สามารถเพิ่มประสิทธิภาพของ DNR ในการออกฤทธิ์ยับยั้งการแบ่งตัวของเซลล์มะเร็ง การทดสอบประสิทธิภาพของโมเลกุล apigenin ต่อความต่างศักย์เมบราวน์ของไมโตคอนเดรีย โดย spectrofluorescence ใช้เทคนิค colocalization ของโมเลกุล rhodamine B กับ MTT-reduction พบร่วมว่า apigenin ในระดับความเข้มข้น 40 μM ไม่มีผลเปลี่ยนแปลงความต่างศักย์เมบราวน์ของไมโตคอนเดรียในทุก cell lines (รูปที่ 7) การลดลงของความต่างศักย์เมบราวน์แม้เพียงเล็กน้อย มีผลโดยตรงต่อระดับพลังงานภายในเซลล์และมีผลต่อการตายของเซลล์ ไมโตคอนเดรียเป็นเป้าหมายของยาหรือโมเลกุลหลายชนิด เนื่องจากหน้าที่หลักของไมโตคอนเดรียคือการสร้าง ATP จากกระบวนการ oxidative phosphorylation และยังควบ

ภูมิการตายแบบ apoptosis ด้วย ดังนั้นการเปลี่ยนแปลงที่ทำให้ไม่ติดค่อนเดรียเสื่อมสภาพจึงก่อให้ กิจกรรมตายของเซลล์และก่อให้เกิดให้เกิดโรคต่างๆ จำนวนมาก นอกจากนี้ประสิทธิภาพของโมเลกุล ในกับการสะสมของโมเลกุลที่เป้าหมายโดยตรงภายในเซลล์ และขึ้นกับชนิดของเซลล์ด้วย ซึ่งถ้า โมเลกุลออกฤทธิ์ที่เป้าหมายภายในเซลล์อย่างเหมาะสมแล้ว จะทำให้เพิ่มประสิทธิภาพในการออกฤทธิ์ และลดผลข้างเคียง [14,16,29] โดยเฉพาะการออกฤทธิ์ของโมเลกุล apigenin ที่เสริมฤทธิ์กับยา กากามะเร็ง DNR การศึกษาがらไกการออกฤทธิ์ของ apigenin โดย Wang I.K. และคณะ [22] พบร่วม โมเลกุล apigenin (60 μ M) กระตุ้นการตายแบบ apoptosis ในเซลล์ HL-60 leukaemia โดยลด ความต่างศักย์เมบранของไม่ติดค่อนเดรีย กระตุ้นการหลัง cytochrome c เข้าสู่ cytoplasm และ กระตุ้นการทำงานของเอนไซม์ caspase-3 ทำให้เกิดการตายแบบ apoptosis นอกจากนี้ยังมีกลไก นาที่ไม่เลกุล apigenin ออกฤทธิ์ยับยั้งการแบ่งตัวของเซลล์มะเร็งคือ ทำลาย DNA ยับยั้งวงซีพชของ เซลล์ (cell cycle arrest) ยับยั้ง signal transduction pathway โดยเฉพาะตำแหน่งที่เกี่ยวข้องกับการ บข่อง ATP ได้แก่ receptor tyrosine kinase, epidermal growth factor receptor, mitogen activated protein kinase เป็นต้น [21]

เนื่องจากโมเลกุล apigenin มีคุณสมบัติเป็น antioxidant ดังนั้นเพื่อที่จะทดสอบประสิทธิภาพ ของโมเลกุล apigenin ต่อการกำจัด ROS ที่ไม่ติดค่อนเดรีย ได้ทำการทดลองโดยปั่นเซลล์กับ H_2O_2 00 μ M เป็นเวลา 2 ชั่วโมง คุณสมบัติของ H_2O_2 นั้นสามารถชี้มีผ่านเยื่อหุ้มเซลล์ได้เร็ว และถูก เปลี่ยนเป็น ROS ชนิดอื่นๆ เช่น OH⁻ โดย Fenton reaction และในภาวะปกติการถ่ายทอดอิเลคตรอน ไม่ติดค่อนเดรียจะมีอิเลคตรอนออกมาสู่ออกซิเจนเกิดเป็น O_2^- และ H_2O_2 ดังนั้นเมื่อเซลล์ถูกเหนี่ยว ให้มี ROS จำนวนมากหลายชนิด เช่น H_2O_2 , O_2^- , OH⁻ เป็นต้น เซลล์จึงอยู่ในภาวะเครียดเรียกว่า oxidative stress ซึ่งการกำจัด ROS ขึ้นกับเอนไซม์ที่เป็น antioxidant ภายในเซลล์ได้แก่ glutathione peroxidase, catalase เป็นต้น ในไม่ติดค่อนเดรียไม่มีเอนไซม์ catalase ดังนั้นจึงมี glutathione peroxidase ทำหน้าที่กำจัด ROS [18] เมื่อทำให้เซลล์อยู่ในภาวะเครียดจากการเพิ่มปริมาณของ CS พบร่วม ในเซลล์มะเร็ง GLC4 ความต่างศักย์เมบранของไม่ติดค่อนเดรียลดลงอย่างมีนัยสำคัญ ปที่ 8ก) และโมเลกุล apigenin (40 μ M) สามารถกำจัด ROS และเพิ่มความต่างศักย์ไม่ติดค่อน เรียยได้เฉพาะในเซลล์มะเร็ง GLC4 โดยมีความเร็วการชี้มีผ่านของสัญญาณ rhodamine B เพิ่มขึ้น 5, 0.97 เท่าในเซลล์มะเร็ง GLC4/S, GLC4/ADR ตามลำดับ (รูปที่ 8x) จากสเปคตรัมการชี้มีผ่าน สัญญาณ rhodamine B ในรูปที่ 8ก. พบร่วม เซลล์มะเร็ง K562 สามารถทนต่อภาวะ oxidative stress ได้ดีกว่าเซลล์มะเร็ง GLC4 เพราะความเร็วการชี้มีผ่านของสัญญาณ rhodamine B ในเซลล์

มะเร็ง K562 เร็วกว่าในเซลล์มะเร็ง GLC4 และในภาวะที่ซักนำให้เซลล์มะเร็ง K562 อญญาณ oxidative stress พบร่วมกับ apigenin ออกฤทธิ์ทำให้ความเร็วการซึมผ่านของสัญญาณ rhodamine B ลดลงเพียงเล็กน้อยคือ 0.09, 0.08 เท่าในเซลล์มะเร็ง K562/S, K562/ADR ตามลำดับ (รูปที่ 8x)



รูปที่ 7 ประสิทธิภาพของโน阴谋ตุล APIGENIN ต่อการลดลงของกระบวนการซึมผ่านของสัญญาณ RHODAMINE B ในเซลล์มะเร็ง K562 และ GLC4 ที่ดื้อต่อยา และที่ไม่ดื้อต่อยาตามลำดับ

เมื่อทำให้เซลล์อยู่ในสภาวะเครียดมากกว่าเดิมโดยปั่นด้วย BSO ความเข้มข้น 50 μM เป็นเวลา 20–24 ชั่วโมง ซึ่งจะทำให้ glutathione ภายในเซลล์ลดต่ำลง อย่างมีนัยสำคัญ โดย BSO ยับยั้งอนไซม์ γ -glutamylcysteine synthetase ที่ใช้ในการสร้าง glutathione และนำเซลล์ที่ปั่นด้วย BSO วางปั่นต่อด้วย H_2O_2 100 μM เป็นเวลา 2 ชั่วโมง และเมื่อตรวจสุขภาพการมีชีวิตของเซลล์ด้วย trypan blue มีการตายของเซลล์คิดเป็นร้อยละ 6, 5, 96, 86 ในเซลล์มะเร็ง K562/S, K562/ADR, GLC4/S, GLC4/ADR ตามลำดับ ซึ่งล้มพื้นธับสเปคตรัมการซึมผ่านของสัญญาณ rhodamine B (รูปที่ 9ก) ชาลล์มะเร็ง GLC4 มีภาวะ oxidative stress มากกว่าเซลล์มะเร็ง K562 เนื่องจากความเร็วซึมผ่านของสัญญาณ rhodamine B ในเซลล์มะเร็ง GLC4 น้อยกว่าในเซลล์มะเร็ง K562 อย่างมีนัยสำคัญ เมลูกุล apigenin (40 μM) สามารถกำจัด ROS และเพิ่มความต่างศักย์ไมโตคอนเดรียได้เฉพาะในชาลล์มะเร็ง GLC4 โดยมีความเร็วการซึมผ่านของสัญญาณ rhodamine B เพิ่มขึ้น 1.32, 4.77 เท่า และมีความล้มพื้นธับลดลงกับจำนวนการตายของเซลล์ที่ลดลงคิดเป็นร้อยละ 12, 10 ในเซลล์มะเร็ง GLC4/S, GLC4/ADR ตามลำดับ (รูปที่ 9ข) และ (รูปที่ 10) ส่วนในเซลล์มะเร็ง K562 พบร่วมกัน ความสามารถต่อภาวะ oxidative stress ได้ดีกว่าเซลล์มะเร็ง GLC4 และไม melan apigenin ไมเปลี่ยนแปลงความต่างศักย์ไมโตคอนเดรีย (รูปที่ 9 กและข)

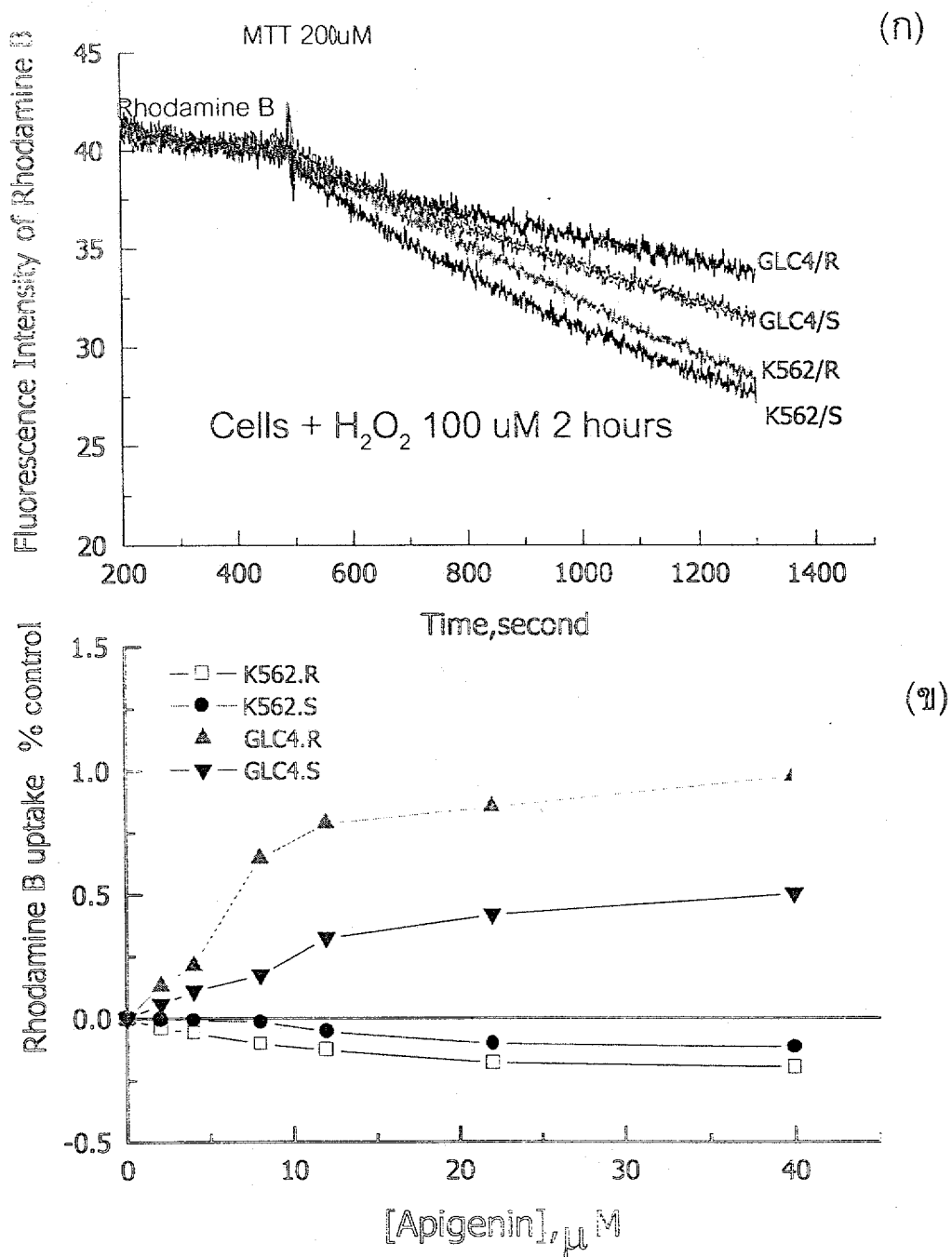
ในภาวะที่เหนี่ยวนำให้เซลล์เกิด oxidative stress และติดตามการเปลี่ยนแปลงความต่างศักย์เมมเบรนของไมโตคอนเดรีย พบร่วมกันความสามารถต่อภาวะ oxidative stress ได้ดีกว่าเซลล์มะเร็ง GLC4 อาจเนื่องมาจากการทำงานของ MRP protein ซึ่งต้องการ glutathione นอกจากนี้ยังขึ้นกับคุณสมบัติจำเพาะของเซลล์แต่ละชนิด ซึ่งมีเอนไซม์ที่เป็น antioxidant แตกต่างกัน H_2O_2 มีคุณสมบัติเป็น oxidizing agent อย่างอ่อน ทำให้เกิด oxidation ของเอนไซม์ glyceraldehyde-3-phosphate dehydrogenase ทำให้ ATP ภายในเซลล์ลดต่ำลง ไมเพียงพอที่จะเปลี่ยน GSSG (oxidized form) ให้เป็น GSH (reduced form) จึงมีผลให้มีการสะสม ROS เพิ่มมากขึ้นในไมโตคอนเดรีย ทำให้ความต่างศักย์เมมเบรนของไมโตคอนเดรียลดลง [9] และไม melan apigenin มีประสิทธิภาพในการกำจัด ROS ที่ไมโตคอนเดรียในเซลล์มะเร็ง GLC4 โดยทำให้เซลล์ที่อยู่ในสภาวะเครียด กลับสู่สภาวะที่มีความต่างศักย์เมมเบรนของไมโตคอนเดรียเพิ่มขึ้น

156152

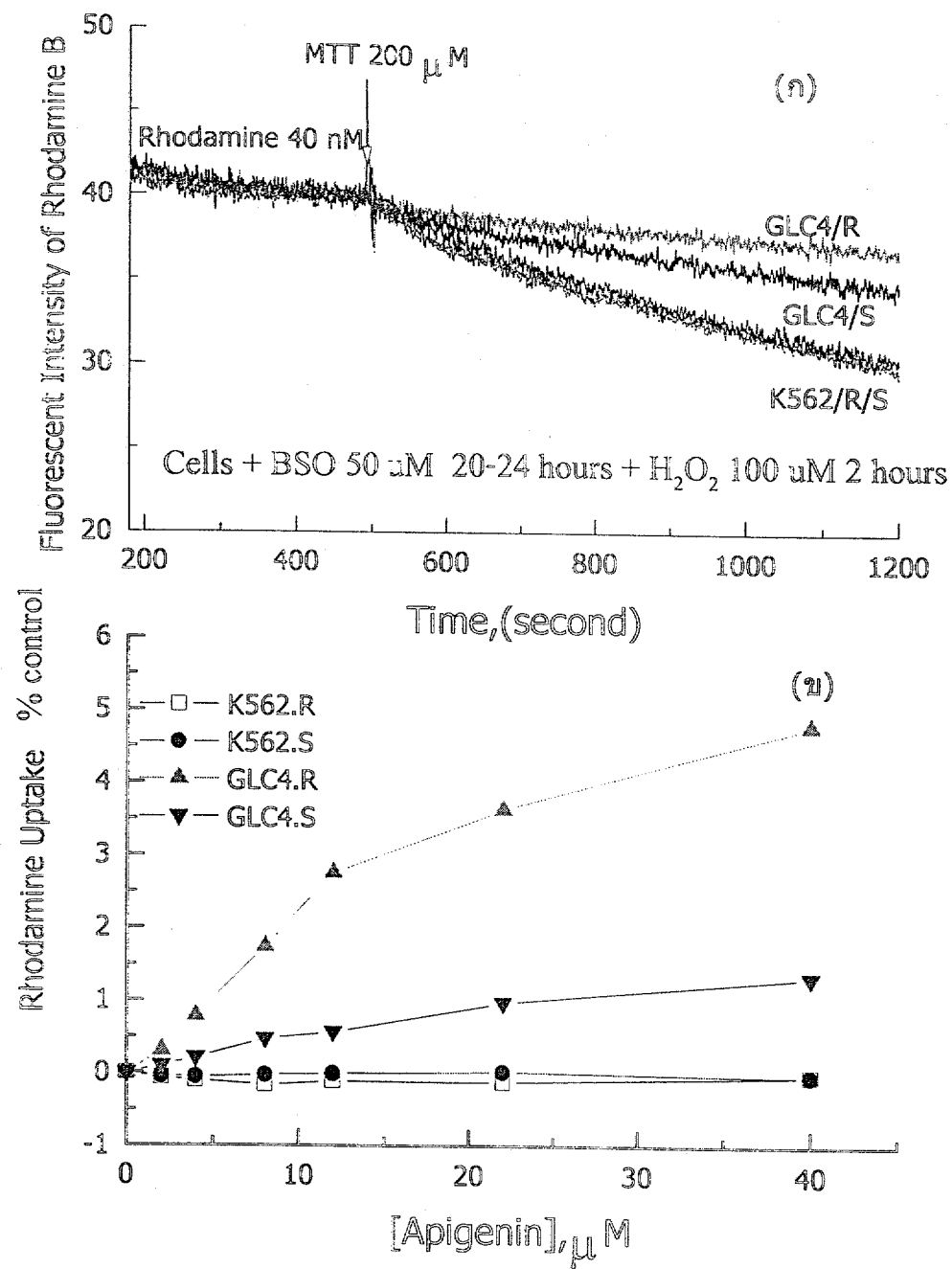
๕๗๑.๙๗๙

๑ ๒๗๖๙

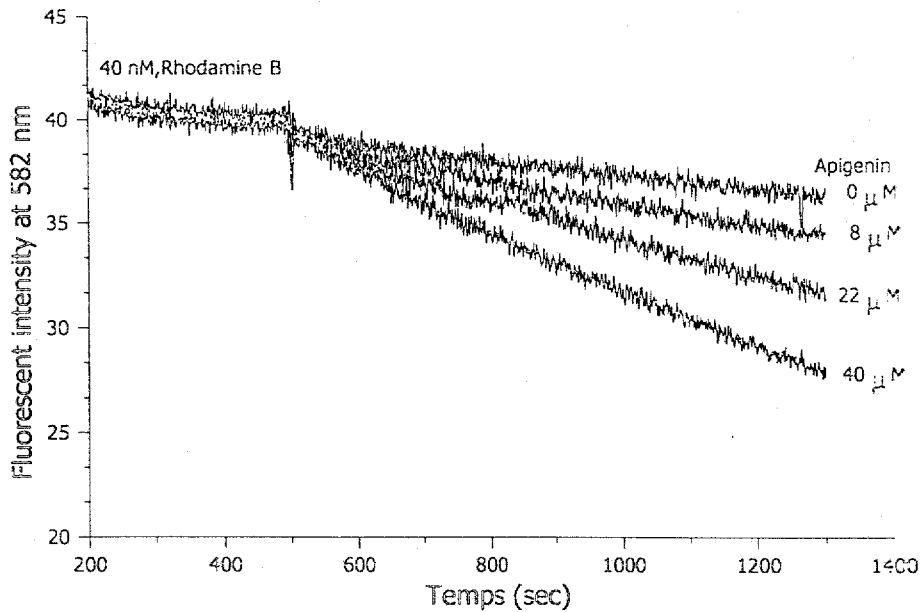
๗๙



รูปที่ 8 การซึมผ่านของสัญญาณ RHODAMINE B ในเซลล์ที่บ่มด้วย H₂O₂ 100 μ M เป็นเวลา 2 ชั่วโมง
スペクトรัมแสดงข้อมูลเชิงคุณภาพของสัญญาณ RHODAMINE B (ก) ประสิทธิภาพของโนเลกูล
APIGENIN ต่อการกำจัด ROS ที่ไม่ไดคอนเดรีย (ข)



รูปที่ 9 การซึมผ่านของสัญญาณ RHODAMINE B ในเซลล์ที่บ่มด้วย BSO 50 μ M เป็นเวลา 20 – 24 ชั่วโมง และบ่มด้วย H_2O_2 100 μ M เป็นเวลา 2 ชั่วโมง สเปกตรัมแสดงข้อมูลเรืองคุณภาพของสัญญาณ RHODAMINE B (a) ประสิทธิภาพของไมเลกุล APIGENIN ต่อการกำจัด ROS ที่ไมเต็คตอนเครือข่าย (b)



รูปที่ 10 สเปกตรัมแสดงประดิษฐิกาฬของโมเลกุล APIGENIN ต่อการเปลี่ยนแปลงการซึมผ่านช่องสัญญาณ RHODAMINE B ในเซลล์มะเร็ง GLC4/ADR โดยบ่มด้วย BSO 50 μM เป็นเวลา 20–24 ชั่วโมง และบ่มต่อด้วย H₂O₂ 100 μM เป็นเวลา 2 ชั่วโมง

2 สรุปผลการทดลอง

การศึกษาคุณสมบัติ antioxidant และ anticancer ของโมเลกุลในกลุ่ม polyphenols 2 ชนิด คือ terpene และ apigenin ซึ่งเป็นโมเลกุลที่พบในพืช ผัก ผลไม้ ที่ใช้บริโภคเป็นอาหารประจำวัน โมเลกุล apigenin มีศักยภาพสูงกว่าโมเลกุล terpene อย่างมีนัยสำคัญ ในการยับยั้งการแบ่งตัวของเซลล์มะเร็ง และการนำมาใช้เป็นยาร่วมกับยาต้านมะเร็ง การศึกษาจุดสนใจที่การต้านมะเร็ง DNR ในเซลล์ และความสามารถของโมเลกุล terpene และ apigenin ในการยับยั้งการขับยา DNR ออกนอกเซลล์มะเร็ง พนว่าทั้งสองโมเลกุลมีประสิทธิภาพต่างในการยับยั้งการทำงานของ P-gp และ MRP โมเลกุล apigenin ในระดับความเข้มข้นต่ำๆ 2-8 μM ($IC_{50} = 26 \mu M$) ออกฤทธิ์เสริมภัยรักษามะเร็ง DNR ทั้งในเซลล์มะเร็ง K562/S, K562/ADR, GLC4/S, GLC4/ADR และพบว่าโมเลกุล apigenin ไม่มีผลต่อความต่างศักย์เมมเบรนของไมโตคอนเดรีย และเมื่อศึกษากลไกการออกฤทธิ์แบบ antioxidant โดยเนี่ยวนำให้เซลล์อยู่ในภาวะ oxidative stress มีผลทำให้ความต่างศักย์เมมเบรนของไมโตคอนเดรียลดลง สัมพันธ์กับจำนวนเซลล์ตายที่เพิ่มขึ้นจากการตรวจสอบด้วย trypan blue โมเลกุล apigenin สามารถกำจัด ROS ที่มากเกินไปในไมโตคอนเดรียได้ โดยทำให้ความต่างศักย์เมม-

เบรนของไม่ต่อคอนเดรียเพิ่มขึ้น สัมพันธ์กับจำนวนเซลล์ตายที่ลดลง เซลล์มะเร็ง K562 และ GLC4 มีความไวต่อภาวะ oxidative stress ไม่เท่ากัน เซลล์มะเร็ง K562 ทนต่อภาวะ oxidative stress ได้ดีกว่า เซลล์มะเร็ง GLC4 และไม่เลกุล apigenin สามารถกำจัด ROS ในเซลล์มะเร็ง GLC4 ได้ดีกว่า เซลล์มะเร็ง K562 จากการศึกษาครั้งนี้พบว่า ไมเลกุล apigenin มีศักยภาพในการเพิ่มพิษของยา รักษามะเร็ง ขณะเดียวกันก็สามารถกำจัด ROS ที่มากเกินไปในไม่ต่อคอนเดรีย

ເອກສານຂ້າງອີງ

- [1] Yamasaki L. (1999) Balancing proliferation and apoptosis in vivo: the goldilocks theory of E2F/DP action, *Biochem. Biophys. Acta.* 1423: M9-M15.
- [2] Wang Y.J. and Kolodner R.D. (2000) The molecular and cellular biology: The molecular basis of cancer, *Biochem. Biophys. Acta.* 1470: R21-R28.
- [3] Dean R.T., Shanlin F.U., Stocker R., Davies M.J. (1997) Biochemistry and pathology of radical - mediated protein oxidation, *Biochem. J.* 324: 1-18.
- [4] Morel Y. and Barouki R. (1999) Repression of gene expression by oxidative stress, *Biochem. J.* 342: 481-496.
- [5] Bailey S.M., Pietsch E.C., Cunningham C.C. (1999) Ethanol stimulates the production of reactive oxygen species at mitochondrial complex I and III, *Free Radic. Biol Med.* 27: 891-900.
- [6] Cardoso S.M., Pereira C., Oliveira C.R. (1999) Mitochondria function is differentially affected upon oxidative stress, *Free Radic. Biol Med.* 26: 3-13.
- [7] Lemasters J.J., Nieminen A.L., Qian T., Trost L.C., Elmore S.P., Nishimura Y., Crowe R.A. (1998) The mitochondrial permeability transition in cell death: a common mechanism in necrosis and autophagy, *Biochem. Biophys. Acta.* 1366: 177-196.
- [8] Yakes F.M. and Van Houten B. (1997) Mitochondrial DNA damage is more extensive and persists longer than nuclear DNA damage in human cells following oxidative stress, *Proc. Natl. Acad. Sci. U.S.A.* 94: 514-519.
- [9] Saves and Masson J.M. (1998) Mechanism of resistance to xenobiotics in human therapy, *Cell.Mol. Life. Sci.* 54: 405-426.
- [10] Simon S.M. and Schindler M. (1994) Cell biological mechanisms of multidrug resistance in tumors, *Proc. Natl. Acad. Sci. U.S.A.* 91: 3497-3504.
- [11] Neilsen D. and Skovsgaard T. (1992) Review P-glycoprotein as multidrug transporter: a critical review of current multidrug resistance cell lines, *Biochem. Biophys. Acta.* 1139: 169-183.
- [12] Borst P., Evers R., Kool M., Wijnholds J. (1999) Review the multidrug resistance protein family, *Biochem. Biophys. Acta.* 1461: 347-357.

- [13] Gong Y., Wang Y., Chen F., Han J., Miao J., Shao N., Fang Z., Yang R.O. (2000) Identification of the subcellular of daunorubicin in multidrug resistance K562 cell lines. Leuk. Res. 24: 769-774.
- [14] Murphy M.P., and Smith R.A.J. (2000) Drug delivery to mitochondria: the key to mitochondrial medicine. Adv. Drug. Deliv. Rev. 41: 235-250.
- [15] Ouar Z., Lacave R., Bens M., Vandewalle A. (1999) Mechanisms of altered sequestration and efflux of chemotherapeutic drugs by multidrug resistance cells. Cell. Bio. Toxicol. 100: 15-91.
- [16] Jia L., Allen P.D., Macey M.G., Grahn M.F., Newland A.C., Kelsey S.M. (1997) Mitochondrial electron transport chain activity, but not ATP synthesis, is required for drug-induced apoptosis in human leukaemic cells: a possible novel mechanism of regulating drug resistance. British. J. Haemato. 98: 686-698.
- [17] Skulachev V.P. (1999) Mitochondrial physiology and pathology; concepts of programmed death of organelles, cells and organisms. Molec. Aspects Med. 20: 139-184.
- [18] Anderson M.E. (1998) Glutathione: an overview of biosynthesis and modulation. Chemico. Biol. Interact. 111: 1-14.
- [19] Arai M., Imai H., Koumarat T., Yoshida M., Emoto., Umeda M., Chiba N., Nakagawa Y. Mitochondrial phospholipid hydroperoxide glutathione peroxidase plays a major role in preventing oxidative injury to cells. J. Biol. Chem. 274:4924-4933.
- [20] Giles D. and Wei H. (1997) Effects of structurally related flavones/isoflavones on hydrogenperoxide production and oxidative DNA damage in ester-stimulated HL-60 cells. Nutr. Cancer. 29(1): 77-82.
- [21] Yin F., Giulino A.E. and Van Herle A.J. (1999) Signal pathways involved in apigenin inhibition of growth and induction of apoptosis of human anaplastic thyroid cancer cells (ARO). Anticancer Res. 19: 4297-4304.
- [22] Wang I.K., Lin-Shiau S.Y., Lin J.K. (1999) Induction of apoptosis by apigenin and related flavonoids through cytochrome c release and activation of caspase-9 and caspase-3 in leukemia HL-60 cells. Eur. J. Cancer. 35: 1517-1525.

- [23] Frezard F. and Garnier-Suillerot A. (1991) Comparison of the membrane transport of anthracycline derivatives in drug-resistant and drug-sensitive K562 cells. Eur. J. Biochem, 196, 483-491.
- [24] Tarasuik J., Frezard F., Gattegno L., and Garnier-Suillerot A. (1989) Anthracycline incorporation in human lymphocytes. Kinetics of uptake and nuclear incorporation. Biochem. Biophys Acta. 1013, 109-117.
- [25] Frezard F. and Garnier-Suillerot A. (1991) Determination of the osmotic active drug concentration in the cytoplasm of anthracycline-resistant and -sensitive K562 cells. Biochem. Biophys Acta. 1091, 29-35.
- [26] Eytan G.D., Regev R., Oren G., Hurwitz C.D. Assaraf Y.G. (1997) Efficiency of P-glycoprotein-mediated exclusion of rhodamine dyes from multidrug-resistant cells is determined by their passive transmembrane movement rate. Eur. J. Biochem. 248: 104-112.
- [27] Reungpattanapong R., Dechsupa S., Meesungnoen J., Mankhetkorn S. (in press) Up regulation of mitochondrial membrane potential ($\Delta\psi_m$) and electron transport chain activity render the GLC4/adr cells, highly express MRP1 resistant to pirarubicin.
- [28] Conseil G., Baubichon-Cortay H., Dayan G., Jault J.M., Barron D., Pietro A.D. Flavonoids: A class of modulators with bifunctional interactions at vicinal ATP-and steroid-binding sites on mouse P-glycoprotein. Proc. Natl. Acad. Sci. U.S.A. 95: 9831-9836.
- [29] Dorward A., Sweet S., Moorehead R., Singh G. (1997) Mitochondrial contributions to cancer cell physiology: redox balance, cell cycle, and drug resistance. J. Bioener. Biomem. 29: 385-392.

សំណើរដ្ឋមន្ត្រី យេប៊ូលី
ភាគទទួលខុសត្រូវ